



Escola d'Enginyeria de Telecomunicació i
Aeroespacial de Castelldefels

UNIVERSITAT POLITÈCNICA DE CATALUNYA

TREBALL FINAL DE GRAU

TÍTOL DEL TFG: Fully convolutional networks per segmentació d'imatges

TITULACIÓ: Grau en Enginyeria Telemàtica

AUTOR: Miguel Angel Archilla Álvarez

DIRECTOR: Esther Salamí San Juan

DATA: 7 de juliol del 2020

Títol: Fully convolutional networks per segmentació d'imatges

Autor: Miguel Angel Archilla Álvarez

Director: Esther Salamí San Juan

Data: 07 de juliol del 2020

Resum

La tecnologia evoluciona molt ràpidament i en aquesta última dècada s'ha materialitzat el començament d'un futur que no sabem encara realment fins on arribarà.

La irrupció del machine learning porta al nostre dia a dia pensaments que es veien molt llunyans a començaments del segle XXI i obre reptes en llocs on mai s'havia imaginat.

L'avanç de la intel·ligència artificial ha permès que siguem capaços de desenvolupar màquines intel·ligents capaces d'aprendre i millorar per si soles, donant així l'aparició de projectes com el vehicle autònom, i cada dia millor, permet a un usuari realitzar un desplaçament on sols ha de supervisar les decisions del vehicle.

Així mateix, fent ús de l'aprenentatge profund, assolim en el món de la medicina el repte que amb només imatges mèdiques, crear una màquina capaç de descobrir si un pacient alberga una malaltia dins seu.

Plantejant escenaris com que en un futur la recerca i creació de nous medicaments vindrà liderada per processos d'intel·ligència artificial.

L'objectiu d'aquest treball és investigar les diferents tècniques d'anàlisi d'imatge, i en concret l'aprenentatge profund basat en segmentació semàntica, per avaluar la viabilitat de la implementació d'una CNN en un UAS per l'anàlisi de camps agrícoles amb Keras i Azure Machine Learning. Abordant problemes típics com la recerca i augment del conjunt de dades, elecció d'un entorn de treball i realització d'entrenaments i ajustament de paràmetres.

El resultat obtingut és positiu i amb ell es planteja diverses solucions, però existeix un gran marge de millora amb la recerca de noves tècniques d'implementació.

Title: Fully convolutional networks per segmentació d'imatges

Author: Miguel Angel Archilla Álvarez

Director: Esther Salamí San Juan

Date: July 7th 2020

Overview

The technology has evolved very fast and in this last decade has started a future we don't know for sure where it will arrive.

The emergence of the machine learning has brought to our present days thoughts that were very far away at the beginning of the XXI century.

The progress of the artificial intelligence has allowed the development of new intelligent machines capable to learn and improve by themselves. With the help of this technology projects like the autonomous vehicle is continually improving, allowing a user do a displacement where only needs to supervise the vehicle decisions.

Moreover, using the deep learning we can design in the medicinal world a machine capable to discover a disease with only the help of a few medical images and thereby, save lives more efficiently.

Having in a future, scenarios where the research and the creation of new medicines will be led by artificial intelligence processes.

The objective of this project is to investigate the different techniques of image analysis, in more detail the deep learning based on semantic segmentation, to evaluate the implementation viability of a CNN in a UAS for the analysis of agricultural fields with Keras and Azure Machine Learning. Approaching typical problems as the research and the increase of the dataset, the choice of a work environment and the achievement of trainings and parameters adjustments.

The obtained result is positive, raising the idea of possible solutions, but there is a big improvement gap with the research of new implementation techniques.

Agraïments

M'agradaria expressar el meu agraïment primer de tot a la meva tutora Esther Salamí San Juan per aquesta oportunitat i el suport realitzat en tot el projecte.

Agrair a les professores i professors de l'EETAC l'ajuda i comprensió aportada en l'àmbit acadèmic que han fet possible compaginar l'àmbit laboral amb els estudis, sense ells no hauria sigut possible arribar fins aquest punt.

I per últim, el més sincer agraïment als familiars, amics i en especial a la meva parella, que han fet d'aquest propòsit una realitat.

ÍNDIX

1. INTRODUCCIÓ I OBJECTIUS	3
1.1. Introducció	3
1.2. Objectius del treball	3
2. ESTAT DE L'ART	5
2.1. Introducció a la intel·ligència artificial	5
2.1.1. Intel·ligència artificial	5
2.1.2. Machine learning	5
2.1.3. Deep learning	6
2.2. Mètodes per classificar una imatge	6
2.3. Xarxes neuronals convolucional	7
2.3.1. Xarxes neuronals	7
2.3.2. Xarxes neuronals convolucional	8
2.3.3. Arquitectura i models d'una xarxa neuronal convolucional	10
2.3.4. Xarxes neuronals convolucional existents	11
2.3.5. Llenguatge de programació, llibreries i frameworks	15
3. METODOLOGIA	16
3.1. Elaboració del conjunt de dades	16
3.2. Entorns d'execució	19
3.2.1. Anàlisi dels diferents entorns	20
3.2.2. El nostre entorn d'execució	21
3.3. Entrenament	21
3.3.1. Conjunt de dades	21
3.3.2. Configuració de l'entrenament	22
3.3.3. Paràmetres de mesura	24
4. AVALUACIÓ	29
4.1. Avaluació de l'entrenament	29
4.2. Avaluació del testeig	32
CONCLUSIONS	36
BIBLIOGRAFIA	37
ANNEX A - CONFIGURACIÓ D'UN ENTORN AZURE MACHINE LEARNING	41
A1. Creació d'un entorn de treball	41
A2. Creació d'un conjunt de dades	41
A3. Creació d'instàncies per l'execució dels experiments	43

A4. Creació dels nostres experiments.....	46
ANNEX B - SCRIPT DE L'EXPERIMENT	48
B1. Set configuration.....	48
B.1.1 Train configuration	48
B.1.2 Connection & execution params	49
B2. Create data & environment.....	49
B.2.1 Import packages.....	49
B.2.2 Connect to workspace.....	49
B.2.3 Create experiment.....	50
B.2.4 Create or Attach existing compute resource	50
B.2.5 Download TFG dataset	51
B.2.6 Create a training script.....	52
B.2.7 Create a utils script	54
B.2.8 Define script params	57
B.2.9 Define Tensorflow estimator & add dependencies	58
B.2.10 Execute individual experiment.....	58
B3. Improve experiment executions	58
B.3.1 Hyperparameters tuning.....	58
B.3.2 Stopper policies.....	59
B4. Release and validate result.....	59
B.4.1 Execute experiment	59
B.4.2 Display run results.....	60
B.4.3 Check best result and best params combination.....	60
ANNEX C - RESULTAT DELS ENTRENAMENTS	61
C1. VGG-16	61
C2. Resnet-50	64
C3. MobileNet.....	65

1. Introducció i objectius

1.1. Introducció

L'any 1956 John McCarthy, persona molt reputada dins del camp d'intel·ligència artificial (IA), introdueix per primera vegada el terme "intel·ligència artificial" definint-la com "la ciència i l'enginy de crear màquines intel·ligents, especialment programes de computació intel·ligents." [1]

Ha estat a partir d'aquesta última dècada amb l'explosió de les noves tecnologies, i en concret amb el potencial de les GPUs i la computació en paral·lel juntament amb la consolidació d'internet, les xarxes socials i l'aparició del Big Data quan aquest terme agafa realment força i comença a fer-se realitat.

En l'actualitat vivim cada cop més rodejats de sistemes que prenen accions per nosaltres, aquests són capaços d'analitzar l'entorn que els envolta, aprendre i millorar amb l'experiència.

Un cas molt senzill és l'aplicació de reconeixement de veu, que implementa intel·ligència artificial per entendre'ns i dur a terme les accions que sol·licitem.

Altres casos d'èxit són el sector automobilístic amb l'aparició dels vehicles autònoms i la medicina implementant tècniques de visió per computació derivades de l'IA per la detecció precoç de malalties.

Les aplicacions i implementacions que ofereix la intel·ligència artificial són pràcticament infinites. Arran dels avanços i investigacions d'aquests últims anys en implementacions en sistemes de reconeixement d'imatges utilitzant UAV, neix la motivació de continuar la recerca de l'article *On-the-Fly Olive Tree Counting Using a UAS and Cloud Services* [2], on es fan servir tècniques tradicionals de processat d'imatge per detectar i comptar en temps real el número d'olivers que hi ha en una parcel·la a partir de les imatges preses per un dron, i realitzar un projecte per investigar i aprendre les diferents eines que ofereix l'IA dins del camp de la visió per computació per aconseguir crear una "màquina" capaç de segmentar imatges.

1.2. Objectius del treball

L'objectiu d'aquest projecte és estudiar les diferents tècniques d'aprenentatge profund basades en l'aprenentatge autònom per intentar desenvolupar un model predictiu que sigui capaç d'identificar en un camp de cultius d'olivers els següents objectes: oliver, herba i terra, amb l'objectiu de facilitar la tasca de recompte i d'anàlisi de la vegetació i el terreny.

Partint de la premissa de no comptar amb recursos econòmics per desenvolupar aquest projecte i de disposar d'un conjunt d'imatges molt reduït amb només 10 imatges del terreny, per aconseguir complir l'objectiu del projecte serà necessari:

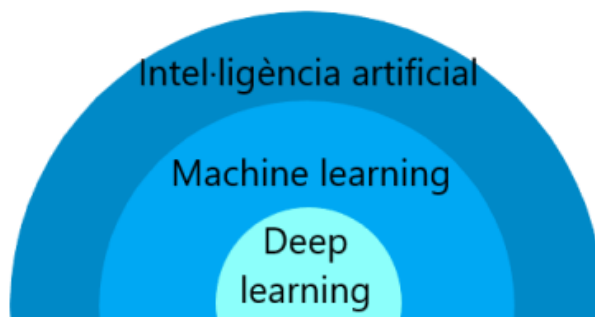
- Conèixer l'estat de l'art de la visió per computació
- Estudiar les diferents solucions que existeixen en l'actualitat.

- Estudiar els diferents llenguatges de programació i frameworks per poder implementar una solució.
- Preparar un entorn de treball que sigui capaç de suplir els requisits tècnics per dur a terme el projecte.
- Realitza i validar diferents propostes de solució.

2. Estat de l'art

2.1. Introducció a la intel·ligència artificial

Intel·ligència artificial, Machine learning i Deep learning són 3 conceptes molt semblants però que cal diferenciar correctament.



Il·lustració 1 Esquema d'intel·ligència artificial

2.1.1. Intel·ligència artificial

Intel·ligència artificial (IA) és fer que una màquina pensi, percebi i actuï com un ésser humà o inclús millor que aquest. És un objectiu molt lluny avui dia.

2.1.2. Machine learning

Machine learning o aprenentatge automàtic (ML) és un subconjunt de la IA que té com a objectiu que una màquina aprengui a fer una cosa sense que hagi sigut programada per aquella tasca.

Aplicant algorismes que li permeten identificar patrons complexos, finalment una màquina serà capaç d'analitzar i aprendre de les dades.

Un senzill exemple seria el fet de voler detectar quines imatges contenen un gat, per aquesta tasca podríem aplicar dos solucions.

1. Desenvolupar un codi que sigui capaç de classificar la imatge com a gat quan detecta **una imatge concreta** amb un gat, però això només seria útil davant la mateixa imatge.
2. Entrenar una màquina fent ús de moltes imatges d'animals i correctament etiquetades, fent així que la màquina aprengui que hi ha imatges que es diuen «gat» i aquestes comparteixen entre elles característiques i patrons com per exemple un contorn d'una figura, la forma del nas, ulls, orelles, potes, etc.

La segona opció és la més versàtil perquè serà capaç de detectar si en una imatge existeix un gat, independentment del tipus d'imatge que sigui; això és la que denominem com machine learning.

2.1.3. Deep learning

Deep learning o aprenentatge profund (DL) és una tècnica concreta de l'aprenentatge autònom que es basa en l'anàlisi de dades fent ús de **xarxes neuronals artificials** que intenten imitar el cervell humà.

Aquestes xarxes estan compostes per diferents nivells de jerarquia, on inicialment el primer nivell aprèn una cosa senzilla i passa la informació al següent nivell que aprendrà una cosa més complexa, iterant així N vegades fins a obtenir el resultat esperat.

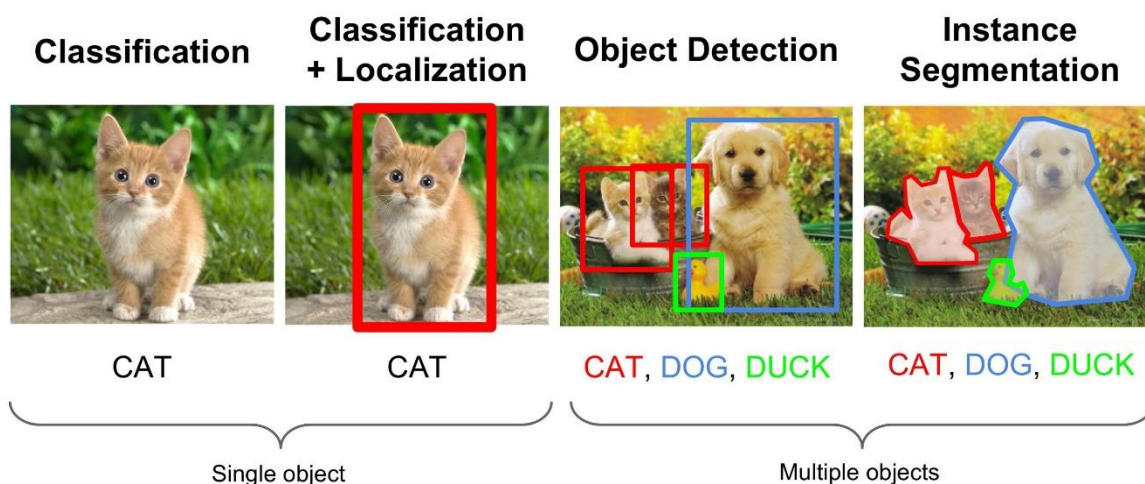
Seguint l'exemple anterior del gat, en aquest cas la xarxa neuronal analitzaria per primera vegada la imatge per diferenciar zones clares i fosques obtenint així el contorn de la figura, amb aquesta informació el següent nivell podria detectar els diferents atributs de la figura, després de N nivells més podria dir si els objectes simples són ulls, boca, nas o potes, fins al final poder combinar-los tots i decidir en l'últim nivell jeràrquic que allò analitzat és un gat.

2.2. Mètodes per classificar una imatge

A dia d'avui l'anàlisi i processament d'imatge és un camp molt important dins del món del machine learning en camps com per exemple la medicina, l'automoció, la seguretat i l'agricultura.

En l'actualitat existeixen múltiples mètodes per reconèixer que conté una imatge:

- La **classificació** únicament identifica/etiqueta una imatge amb el seu objecte.
- La **classificació i localització** permet identificar i posicionar l'objecte dins de la imatge.
- La **detecció d'objectes** ens permet detectar els diferents objectes que té una imatge.



Il·lustració 2 Tipus de classificació de una imatge [3]

Per al nostre propòsit, el més important està relacionat amb la **segmentació** que es tracta d'una tècnica que detecta a quina categoria d'objecte pertany cada píxel de la imatge.



Il·lustració 3 Segmentació per semàntica i segmentació per instància [4]

Dins de la segmentació d'imatges existeixen dos tipus:

- La **segmentació semàntica** és una tècnica capaç de detectar quin tipus d'objecte és cada píxel d'una imatge.
- La **segmentació per instàncies**, igual que la segmentació semàntica, pot detectar a quina classe pertany cada píxel, però a més a més també pot diferenciar per instància.

En l'exemple mostrat en la Il·lustració 3 es pot apreciar com la segmentació semàntica només detecta la categoria persona, mentre que la segmentació per instància a més és capaç de detectar els diferents nombres de persones que existeixen.

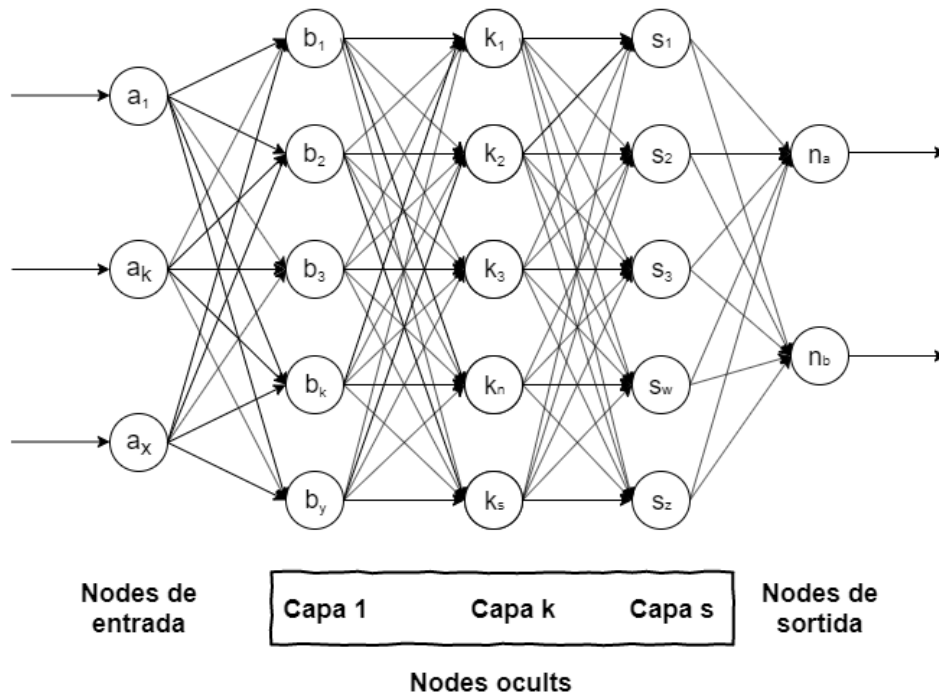
2.3. Xarxes neuronals convolucional

Les xarxes neuronals convolucional, en anglès conegudes com a convolutional neuronal network (**CNN**), són les xarxes més populars dins del camp d'anàlisi d'imatge i vídeo donat els grans resultats que ofereixen.

2.3.1. Xarxes neuronals

Tal com es mostra a la Il·lustració 4 una xarxa neuronal està formada bàsicament per múltiples neurones artificials (**nodes**), que en conjunt conformen **capes** i alhora cada capa està interconnectada amb la següent per tal de poder enviar així la informació entre elles.

Totes les xarxes neuronals estan definides per una **capa d'entrada**, una **capa de sortida** i moltes **capes ocultes** intermèdies.



Il·lustració 4 Diagrama d'una xarxa neuronal

Aquestes xarxes aplicades a l'anàlisi d'imatge no són molt òptimes atès que una imatge a color de mida 100x100 conté 10.000 píxels i cada píxel conté 3 fragments de color (RGB) donant com a resultat 30.000 valors d'entrada. Si per exemple una de les capes ocultes conte 100 nodes, això implicarà 3.000.000 de connexions, nom massa gran que fa inviable la seva implementació.

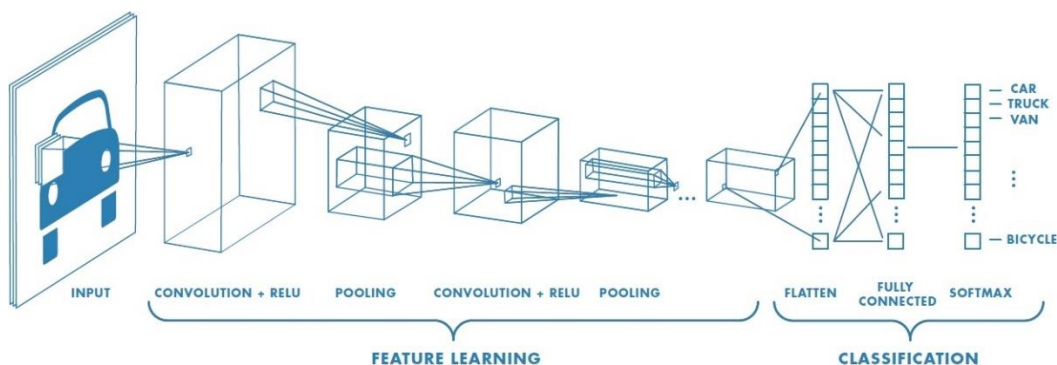
2.3.2. Xarxes neuronals convolucionals

Les xarxes neuronals convolucionals (CNN) són un tipus especial de xarxes neuronals capaces de capturar amb èxit les dependències espacials i temporals d'una imatge mitjançant filtres rellevants.

La característica principal d'una CNN és que permet reduir les imatges de tal forma que sigui més fàcil i ràpides de processar-les sense perdre en cap moment les propietats crítiques per a realitzar una bona predicció.

L'estructura d'una CNN es pot dividir en dos parts:

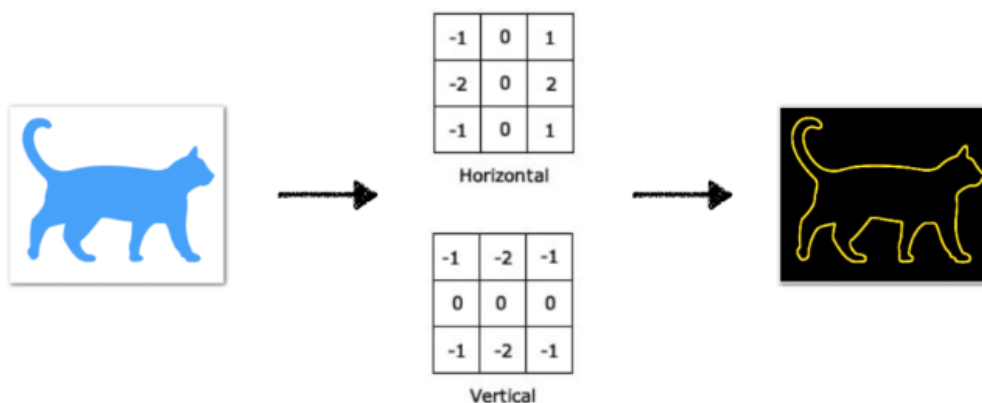
- **Aprenentatge de característiques:** és basa en implementar diferents filtres com la convolució i l'agrupació (pooling) per tal de depurar l'entrada i extreure així la informació primordial necessària.
- **Classificació:** és basa en tractar i entendre aquesta informació per tal de dur a terme una decisió.



Il·lustració 5. Exemple d'una xarxa amb moltes capes de convolució [5]

2.3.2.1. Aprenentatge de característiques

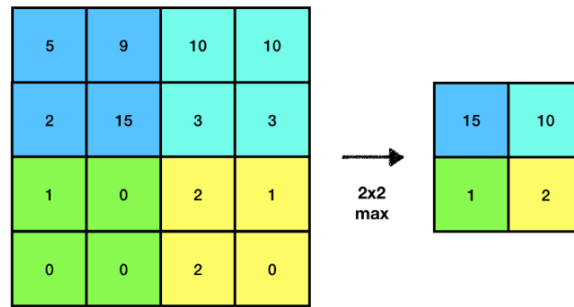
Donada una imatge d'entrada, amb una primera capa de convolució podem **extreure les característiques d'alt nivell** com per exemple el contorn de la figura.



Il·lustració 6 Exemple de convolució per extreure característiques de alt nivell [6]

Normalment després d'una o múltiples convolucions s'acostuma a fer ús de l'**agrupació** que té com a objectiu reduir la mida de l'entrada per així **disminuir la potència computacional requerida per al processament de dades**, també és útil per extreure característiques dominants que són invariants del posicionament i de la rotació.

Existeixen dos tipus d'agrupacions, l'**agrupació màxima** retorna el valor màxim de la part que cobreix el kernel, per contra l'**agrupació mitjana** retorna la mitjana de tots els valors de la part que cobreix el kernel.

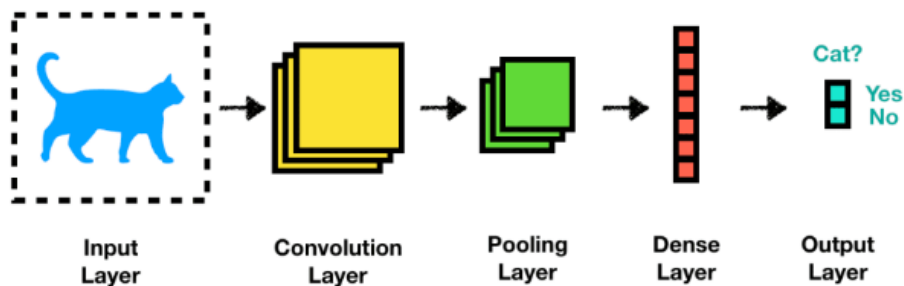


Il·lustració 7. Agrupació màxima de 2x2 a una entrada de 4x4 [6]

A mesura que anem concatenant més capes de convolució tindrem fragments d'imatge més petits i podrem capturar les **característiques de baix nivell** com contorns, color, orientació del degradat, etc.

2.3.2.2. Classificació

Un cop analitzada la imatge i conegudes les seves característiques és hora d'avaluar aquesta informació i decidir (predir) que és allò que s'ha visualitzat.



Il·lustració 8. Exemple simplificat del tractament de la informació en una CNN [6]

Per aquesta tasca s'utilitzaran capes denses (**dense layers**), és a dir, les xarxes neuronals completament connectades ja conegudes en l'apartat 2.3.1 que connectaran cada neurona des de la capa anterior a la següent.

2.3.3. Arquitectura i models d'una xarxa neuronal convolucional

A nivell lògic, una CNN està definida per un **model** i una **arquitectura**, el model defineix les capes i les accions d'anàlisi disponibles, per contra l'arquitectura defineix a baix nivell com s'implementa/interactuen les capes i accions definides en el model.

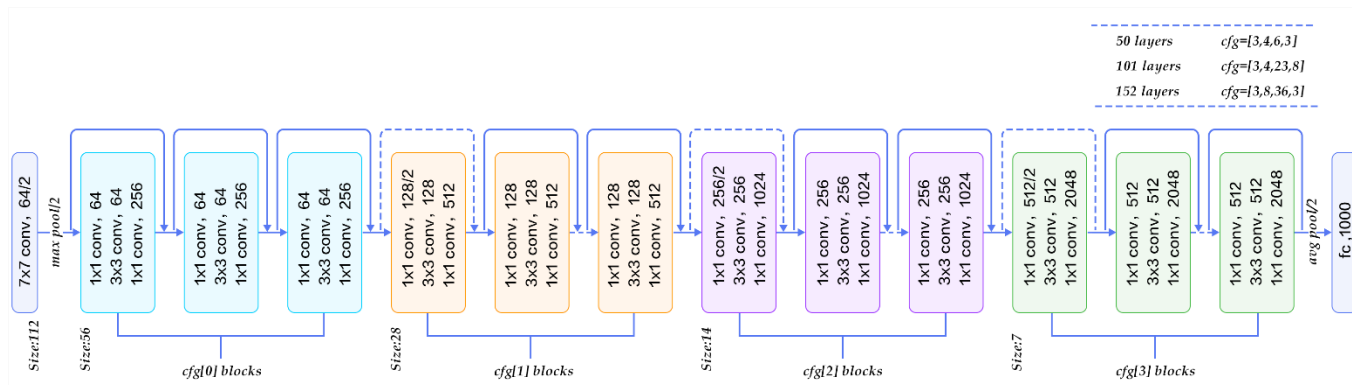
Per exemple quan nosaltres apliquem un entrenament d'una CNN, el model aplica les accions per extreure la informació, assignar pesos i finalment arribar a realitzar una predicció. En aquest punt l'arquitectura pot modificar la connexió dels nodes de la xarxa neuronal alimentant un node amb informació d'una capa inicial o bé fent omissió de connexions amb l'objectiu de millorar el resultat en la predicció final.

2.3.4. Xarxes neuronals convolucionals existents

En l'actualitat existeixen diferents models per la segmentació semàntica; per al nostre objectiu ens centrarem en els següents models estàndards:

ResNet [7] és el model definit per Microsoft i va obtenir una precisió del 96,4% en la competició ILSVRC [8] (ImageNet Large Scale Visual Recognition Challenge) l'any 2016.

Es caracteritza per incrementar el nombre de capes introduint una connexió residual (amb una capa d'identitat).



Il·lustració 9. Arquitectura del model ResNet [9]

VGG-16 [10] és el model definit per Oxford i va obtenir una precisió del 92,7% en la competició ILSVRC [8] l'any 2013.

En comparació amb ResNet, VGG-16 al ser més petita, està formada per 16 capes, és més ràpida d'entrenar però en conseqüència possiblement no oferirà una precisió molt elevada.

ConvNet Configuration					
A	A-LRN	B	C	D	E
11 weight layers	11 weight layers	13 weight layers	16 weight layers	16 weight layers	19 weight layers
input (224 × 224 RGB image)					
conv3-64	conv3-64 LRN	conv3-64 conv3-64	conv3-64 conv3-64	conv3-64 conv3-64	conv3-64 conv3-64
maxpool					
conv3-128	conv3-128	conv3-128 conv3-128	conv3-128 conv3-128	conv3-128 conv3-128	conv3-128 conv3-128
maxpool					
conv3-256 conv3-256	conv3-256 conv3-256	conv3-256 conv3-256	conv3-256 conv3-256 conv1-256	conv3-256 conv3-256 conv3-256	conv3-256 conv3-256 conv3-256 conv3-256
maxpool					
conv3-512 conv3-512	conv3-512 conv3-512	conv3-512 conv3-512	conv3-512 conv3-512 conv1-512	conv3-512 conv3-512 conv3-512	conv3-512 conv3-512 conv3-512 conv3-512
maxpool					
conv3-512 conv3-512	conv3-512 conv3-512	conv3-512 conv3-512	conv3-512 conv3-512 conv1-512	conv3-512 conv3-512 conv3-512	conv3-512 conv3-512 conv3-512 conv3-512
maxpool					
FC-4096					
FC-4096					
FC-1000					
soft-max					

Il·lustració 10. Arquitectura del model VGG [10]

MobileNet [11] és el model definit per Google dissenyat per ser implementat en dispositius mòbils. Està basada en una arquitectura optimitzada que utilitza convolucions separables en profunditat per a poder construir xarxes profundes i lleugeres.

Fent ús de dos hiperparàmetres globals simples que s'intercanvien entre latència i precisió, la xarxa és capaç d'ajustar-se i escollir la mida correcta per la seva aplicació en funció de les restriccions del problema.

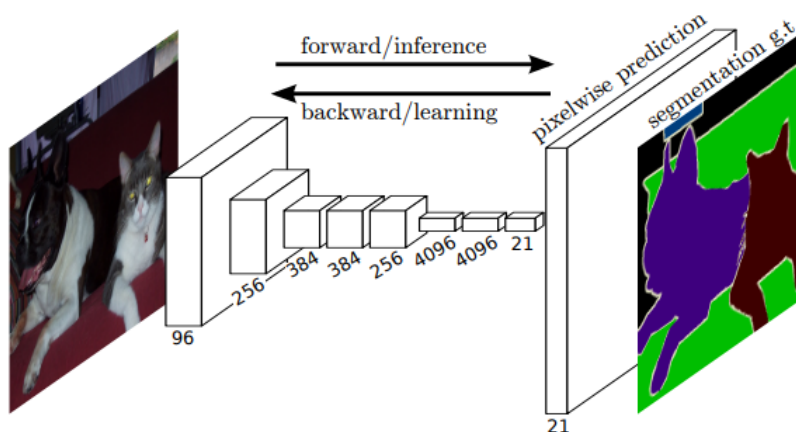
Type / Stride	Filter Shape	Input Size	
Conv / s2	$3 \times 3 \times 3 \times 32$	$224 \times 224 \times 3$	
Conv dw / s1	$3 \times 3 \times 32$ dw	$112 \times 112 \times 32$	
Conv / s1	$1 \times 1 \times 32 \times 64$	$112 \times 112 \times 32$	
Conv dw / s2	$3 \times 3 \times 64$ dw	$112 \times 112 \times 64$	
Conv / s1	$1 \times 1 \times 64 \times 128$	$56 \times 56 \times 64$	
Conv dw / s1	$3 \times 3 \times 128$ dw	$56 \times 56 \times 128$	
Conv / s1	$1 \times 1 \times 128 \times 128$	$56 \times 56 \times 128$	
Conv dw / s2	$3 \times 3 \times 128$ dw	$56 \times 56 \times 128$	
Conv / s1	$1 \times 1 \times 128 \times 256$	$28 \times 28 \times 128$	
Conv dw / s1	$3 \times 3 \times 256$ dw	$28 \times 28 \times 256$	
Conv / s1	$1 \times 1 \times 256 \times 256$	$28 \times 28 \times 256$	
Conv dw / s2	$3 \times 3 \times 256$ dw	$28 \times 28 \times 256$	
Conv / s1	$1 \times 1 \times 256 \times 512$	$14 \times 14 \times 256$	
5×	Conv dw / s1	$3 \times 3 \times 512$ dw	$14 \times 14 \times 512$
	Conv / s1	$1 \times 1 \times 512 \times 512$	$14 \times 14 \times 512$
Conv dw / s2	$3 \times 3 \times 512$ dw	$14 \times 14 \times 512$	
Conv / s1	$1 \times 1 \times 512 \times 1024$	$7 \times 7 \times 512$	
Conv dw / s2	$3 \times 3 \times 1024$ dw	$7 \times 7 \times 1024$	
Conv / s1	$1 \times 1 \times 1024 \times 1024$	$7 \times 7 \times 1024$	
Avg Pool / s1	Pool 7×7	$7 \times 7 \times 1024$	
FC / s1	1024×1000	$1 \times 1 \times 1024$	
Softmax / s1	Classifier	$1 \times 1 \times 1000$	

Il·lustració 11. Arquitectura del model MobileNet [11]

Un cop seleccionats els models hem de definir l'arquitectura de segmentació que implementarem, aquestes vindran definides pel nombre d'imatges d'entrenament, la mida de les imatges i la naturalesa de les imatges.

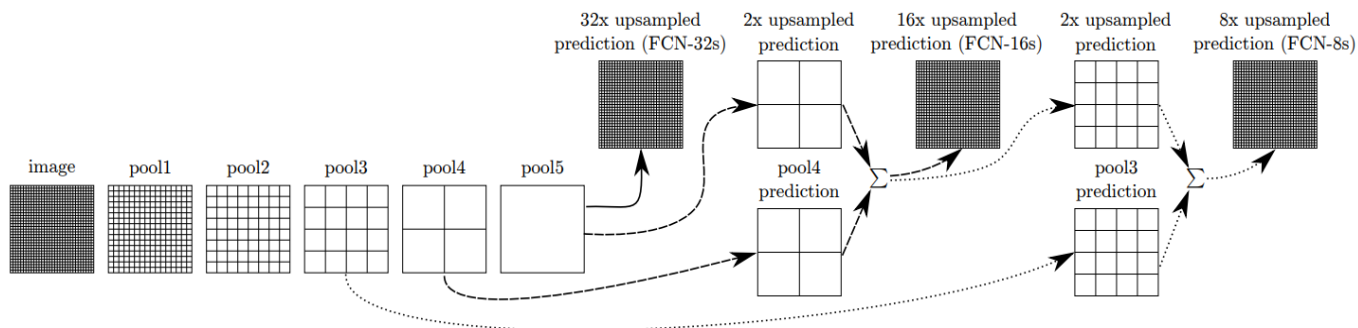
FCN [12] és una de les primeres arquitectures de segmentació basada en capes convolucionals completament connectades. La xarxa està formada per dues parts:

- Camí de mostreig ascendent (forward/inference) utilitzat per capturar la informació semàntica, és a dir, per extreure e interpretar el context del píxel/fragment d'imatge.
- Camí de mostreig descendent (backward/learning) utilitzat per recuperar la informació espacial i així localitzar la posició del píxel/fragment d'imatge dins de la imatge.



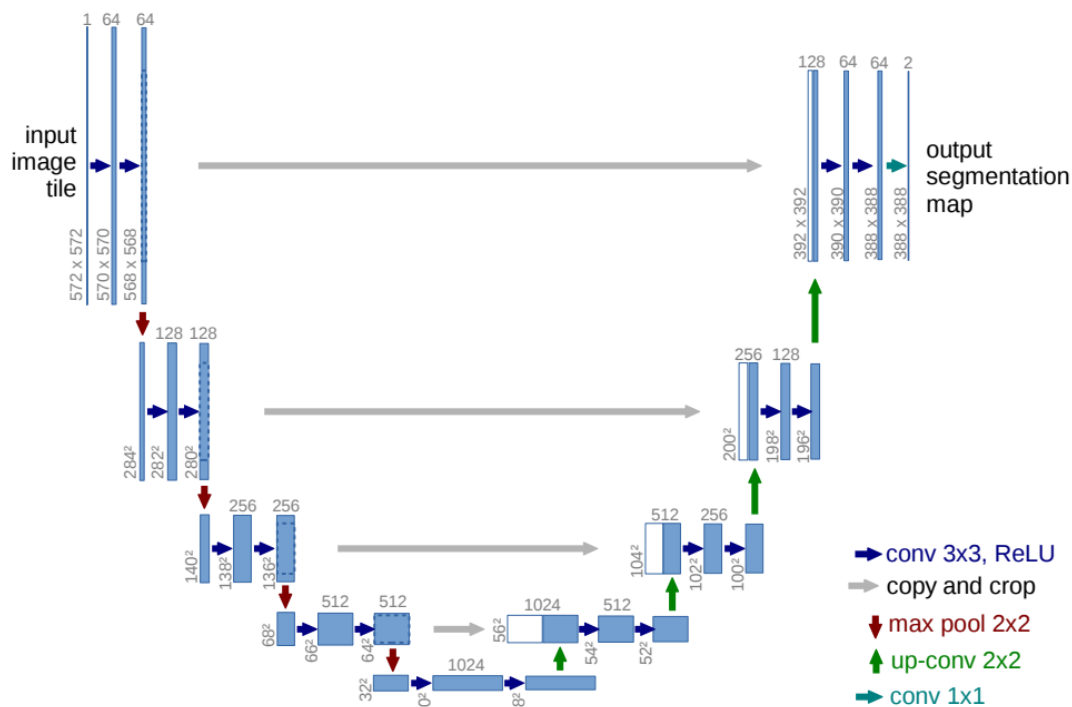
Il·lustració 12. Arquitectura FCN [12]

En l'actualitat existeixen diferents variants: FCN-8, FCN-16 i FCN-32 i es diferencien entre elles en la precisió espacial obtinguda a la sortida, donat que la predicció es realitza per cada una d'elles en moments diferents.



Il·lustració 13. Gràfic acíclic dirigit de la predicció d'una FCN [12]

U-Net [13] ha sigut dissenyada sobre FCN, fa ús d'una estructura codificador-descodificador simètric amb connexions d'omissió entre les capes de codificació i descodificació i és molt utilitzada en entorns mèdics i entorns amb poques dades, ja que és capaç d'obtenir bons resultats amb menys sets d'entrenament.

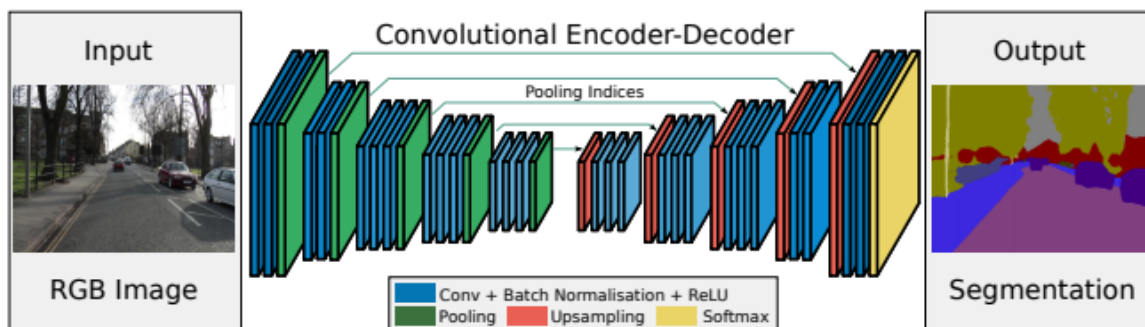


Il·lustració 14. Arquitectura U-net [13]

La xarxa codificadora processa la imatge fins a transformar-la en un vector per obtenir el context i característiques de la imatge, després la xarxa descodificadora que consisteix en

capes desconvolucionals reconstruirà la imatge per obtenir la localització, durant aquest procés de descodificació la xarxa utilitzarà les connexions d'omissió per ajudar al generador a reconstruir la imatge més precisa.

SegNet [14] igual que U-Net també fa ús d'una estructura codificador-descodificador amb capes simètriques. Es diferencia de la resta perquè la xarxa descodificadora fa ús dels índexs d'agrupació màxims generats a la xarxa codificadora i no fa ús de connexions d'omissió.



Il·lustració 15. Arquitectura SegNet [14]

Existeixen altres arquitectures com DeepLab i PSPNet però aquestes estan enfocades a tractar imatges de grans dimensions (500x500) amb una gran quantitat de classes dins l'escena.

Per a conjunts de dades simples, i una petita quantitat d'objectes, els models simples com FCN o Segnet podrien ser suficients.

2.3.5. Llenguatge de programació, llibreries i frameworks

Actualment podem desenvolupar un projecte de IA amb diferents llenguatges de programació com C++, Java, R, entre altres, però el més popular i més utilitzat avui dia és Python a causa de la simplicitat i facilitat a l'hora de treballar amb ell.

Per altra banda, existeixen multitud de frameworks per dur a terme tasques de IA com Tensorflow desenvolupat per Google, PyTorch desenvolupat per Facebook, MathWorks desenvolupat per MatLab, CNTK desenvolupat per Microsoft entre altres més.

L'elecció d'un llenguatge o eina de treball en molts casos estarà condicionada per la seva facilitat d'ús, la documentació disponible, la seva comunitat, el seu rendiment en entorns productius, casos d'ús per companyies externes, si és de pagament o bé gratuïta, etc.

3. Metodologia

Els experiments estaran basats en **aprenentatge supervisat** on els algoritmes treballaran amb dades etiquetades que podran consultar al final de la predicció per conèixer quant d'acurat ha estat el resultat, millorant el resultat amb el pas del temps a base de prova, error i correcció.

Tots els experiments es realitzaran amb **Keras** [15] que és una API de deep learning escrita en **Python** i que implementa la famosa llibreria **TensorFlow** [16] desenvolupada per Google.

Per dur a terme els diferents experiments utilitzarem la llibreria **keras-segmentation** [17] per fer ús dels models bàsics predefinitos sense cap classe d'entrenament previ.

La decisió d'utilitzar aquestes eines es basa en la facilitat que ofereixen a l'hora de desenvolupar una aplicació de deep learning per primer cop i en l'ampli suport de la comunitat.

Finalment s'ha decidit analitzaran l'eficàcia dels models **VGG-16**, **ResNet50** i **MobileNet** sobre les arquitectures **FCN-8** i **UNET** per a diferents mides d'imatges.

Aquesta elecció ve motivada pels bons resultats que han obtingut en altres tipus de proves, la facilitat d'entrenament amb conjunts de dades petits i per la idea d'analitzar models de diferents mides aplicables en diferents entorns.

3.1. Elaboració del conjunt de dades

Una part molt important per ser capaç de dur a terme qualsevol experiment amb ML és disposar d'un **conjunt d'imatges prou gran i correctament etiquetades** per poder executar els models i obtenir bons resultats. La realitat és que molts cops o hi ha poques dades disponibles o bé aquestes no estan etiquetades, cosa que fa que gran part del temps estigui dedicat a aquesta tasca i és important conèixer tècniques i automatitzar processos per intentar reduir aquest temps al màxim.

En el nostre cas hem partit de la premissa de només disposar de 10 imatges d'alta resolució (3808x2912 píxels) sense etiquetar, per la qual cosa serà necessari etiquetar-les i incrementar el nombre de mostres fent ús de tècniques **d'augment de dades**.

Aquestes 10 imatges pertanyen a la investigació realitzada a l'article *On-the-Fly Olive Tree Counting Using a UAS and Cloud Services* [2] i han sigut cedides per la realització d'aquest projecte.

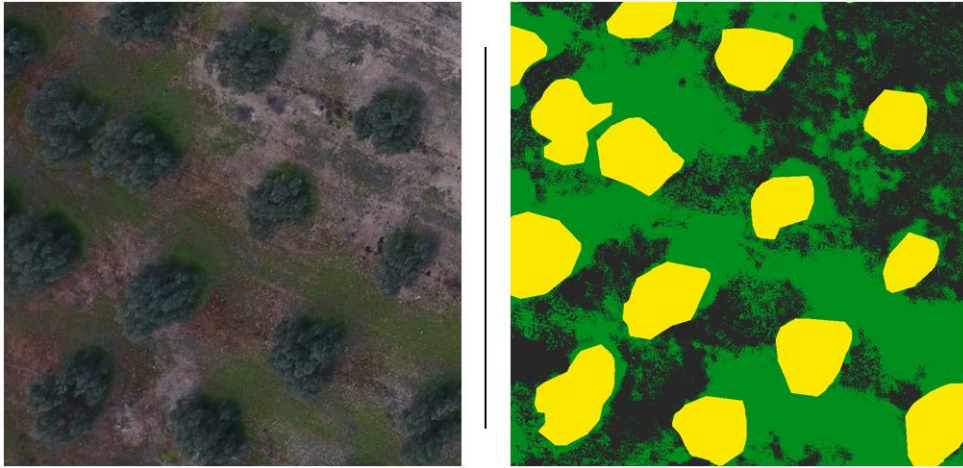


Il·lustració 16. Imatge d'exemple del nostre conjunt de dades

Per tal d'etiquetar les imatges existeixen diferents eines en línia gratuïtes com per exemple **LabelMe** [18] que ens permet generar i gestionar el conjunt de dades (**dataset**) de forma manual o bé serveis de pagament més sofisticats com **Amazon SageMaker Ground Truth** [19] que ens permet delegar aquesta tasca perquè sigui realitzada per un procés de IA o per proveïdors externs.

Per al nostre cas en tractar-se d'imatges amb moltes petites zones d'un tipus, com per exemple molts petits fragments de part del terreny amb herba i d'altres amb terra, vam decidir fer ús de l'editor d'imatge de codi lliure **GIMP** [20] perquè disposa d'eines per a seleccionar múltiples elements semblants basats en el color.

A la Il·lustració 17 podem veure un exemple d'un fragment d'imatge original i de la imatge de referència com a predicció vàlida (**ground truth**) que hem generat on cada color representa una classe diferent, en aquest cas apreciem 3 colors que fan referència a l'arbre, l'herba i el terra.



Il·lustració 17. Fragment d'imatge original i ground truth generats

Un cop etiquetades les 10 imatges, serà necessari aplicar diferents tècniques per poder augmentar el nombre d'imatges disponibles per a l'experiment, en el nostre cas hem incrementat el nombre de mostres de la següent manera:

1. Dividint la imatge principal en mostres més petites.



Il·lustració 18. Mostreig d'una imatge original en 35 submostres

2. Aplicant girs horitzontals, verticals i modificacions aleatòries (dins d'un rang acotat) en la il·luminació i el contrast.

Per aplicar aquesta tècnica es va generar un script per automatitzar aquest procés [21].



Il·lustració 19. Exemple de un fragment amb diferents alteracions

Aplicant aquest tipus de tècniques hem aconseguit passar de tenir 10 mostres a 1400 mostres.

$$10 \text{ imatges originals} \cdot 35 \text{ imatges/imatges originals} = 350 \text{ imatges}$$

$$350 \text{ imatges} \cdot 4 \text{ alteracions diferents/imatge} = 1400 \text{ imatges}$$

Equació 1. Càlcul de l'augment de dades

Es van explorar altres tècniques visuals per modificar el conjunt de dades fent ús d'eines existents a la llibreria Keras, com es mostra en el següent exemple [22], però en el nostre cas no va resultar el més apropiat a causa que el ground truth resultant era una imatge d'escala de grisos i això entrava en conflicte amb el codi utilitzat més endavant. Tot i això en altres circumstàncies amb les correccions adequades en el codi farien d'aquesta una opció molt vàlida a tenir en compte.

És recomanable fer ús de l'augment de dades donat que s'ha demostrat que beneficia la creació dels models predictius, accelerant la seva convergència i evitant el sobreajustament (**overfitting**) fent que aquests generalitzin millor i siguin igual d'òptims amb imatges diferents de les utilitzades en el procés d'entrenament [23].

3.2. Entorns d'execució

La correcta decisió d'un entorn d'execució per entrenar el model predictiu serà clau per poder dur a terme l'entrenament en el menor temps possible. També serà molt important optimitzar al màxim els recursos disponibles per tal de reduir al mínim el cost econòmic.

3.2.1. Anàlisis dels diferents entorns

3.2.1.1. Entorn local

Donat el gran volum i el tipus de dades utilitzades fan que aquest experiment no sigui adient realitzar-lo en un entorn local comú donat que amb els ordinadors convencionals no disposem dels recursos necessaris per realitzar entrenaments que durin menys d'1 dia [24] i això és a causa que el hardware de les GPUs és més adient davant el tipus d'operacions computacionals que duen a terme els processos de ML enfocats a visió per computació.

Tot i això, encara que disposéssim dels recursos econòmics suficients per adquirir aquest hardware seria convenient valorar quin ús real faríem, ja que són recursos molt cars (+2.000 €) i existeixen alternatives més econòmiques com el lloguer d'infraestructura en el núvol, on només paguem quan tenim el recurs reservat.

3.2.1.2. Google Colaboratory & Google Cloud

Google Colaboratory [25] és una eina molt útil per a començar a desenvolupar processos senzills de deep learning o simplement executar codi Python, ja que l'únic que necessitem és un navegador web, no requereix configuració prèvia, ens ofereix accés gratuït a GPUs i podem fer execucions sobre arquitectures **TPU** [26]. Per altra part, té una molt fàcil connexió amb Google Drive, pel que emmagatzemar i utilitzar el nostre dataset serà un problema.

El major inconvenient que té Google Colab. és que **no garanteixen l'ús ininterromput dels recursos**, fent així que no sigui una eina adequada per a execucions llargues, com és el nostre cas. Per altra banda, tampoc garanteixen l'ús del mateix model de GPU en cada execució, fet que ocasiona una incertesa amb el temps requerit en l'execució.

Existeix una versió de pagament molt econòmica anomenada **Google Colab. Pro**, on es millora l'accés habilitant GPUs de major rendiment i incrementen el temps de servei ininterromput (sense garanties), però de moment aquest servei sols està disponible a EEUU.

Es va explorar l'alternativa de connectar el nostre entorn de Google Colab. a un recurs dedicat de ML allotjat al servei de **Google Cloud** fent ús del crèdit gratuït que ofereixen als nous usuaris, però ràpidament es va descartar donat que no ens permeten en l'actualitat fer ús de màquines GPU amb crèdit gratuït.

3.2.1.3. Azure Machine Learning

Entre tots els serveis que ofereix Microsoft dins del portal de **Microsoft Azure** existeix un servei de pagament dedicat exclusivament a l'aprenentatge autònom anomenat **Azure Machine Learning**.

Azure ML disposa d'un entorn de treball molt extens amb el que podrem d'ur a terme totes les tasques involucrades dins d'un projecte de ML com l'etiquetatge de dades, l'emmagatzemament de les dades, la creació i execució d'experiments, l'anàlisis dels resultats, etc.

En comparació amb la resta dels serveis prèviament mencionats considerem que és **l'eina més difícil** a l'hora d'iniciar-se, però un cop superada aquesta barrera d'iniciació, és **l'eina més completa** per a treballar tant individualment com amb equip.

Un punt molt positiu de Azure ML és que disposa de màquines virtuals GPUs ja predefinides les quals estan preparades per poder fer ús de **CUDA** [27] i així optimitzar al màxim els recursos i disminuir el temps d'entrenament. Actualment Azure ML permet fer ús d'alguns recursos GPUs amb crèdit gratuït.

3.2.2. El nostre entorn d'execució

Un cop analitzades diferents opcions, tenint en compte els recursos econòmics limitats i que els nostres experiments es caracteritzaran per requerir una important càrrega de treball, vam decidir fer ús de **Azure Machine Learning** pel fet de poder disposar de màquines GPUs amb crèdit gratuït i de tractar-se de l'eina més completa.

3.3. Entrenament

3.3.1. Conjunt de dades

Abans d'entrenar els diferents models necessitarem separar les imatges en diferents conjunts de dades, nosaltres hem elegit la següent distribució:

Conjunt de dades per l'entrenament		Conjunt de dades pel testeig
TRAIN	VALIDATION	TEST
80%	10%	10%

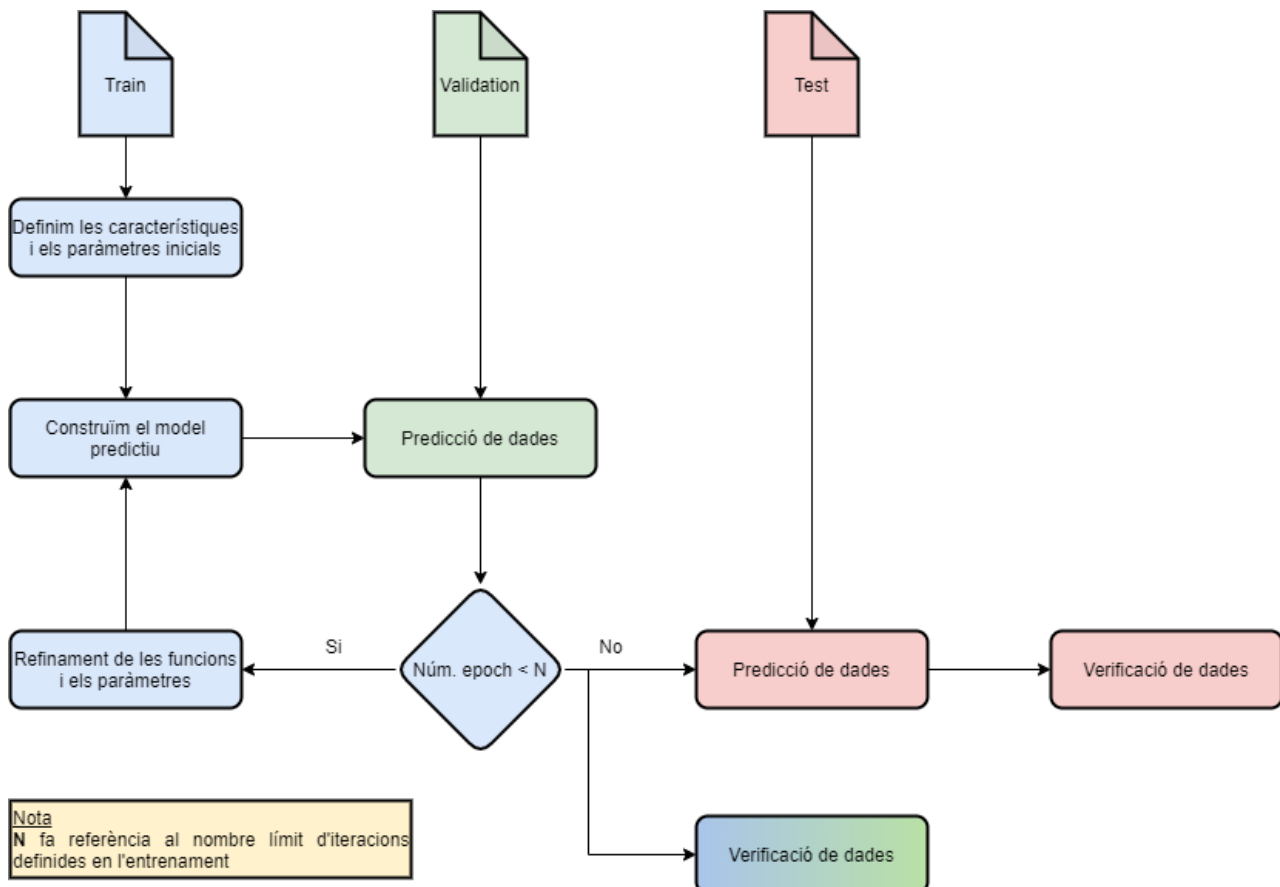
Taula 1. Percentatges de distribució de les dades

Cadascuna de les dades només podrà estar en un únic conjunt de dades.

El conjunt de dades **train** serà **utilitzat per entrenar el model de dades**, a cada iteració (**epoch**) el model analitzarà les imatges per aprendre les diferents característiques i intentarà predir els objectes que apareixen; validant amb la imatge resultant de referència serà capaç de saber com de bé ho ha fet i **d'autoajustar-se** per tal d'intentar millorar la següent iteració.

Alhora, sempre que és finalitza una iteració s'utilitza el conjunt de dades **validation** per **validar com de precís és en aquell moment el model**. A diferència del conjunt train, aquestes dades mai han sigut conegudes ni utilitzades per entrenar el model fent que sigui un valor resultant vàlid.

Un cop finalitzat l'entrenament, passarem a **verificar la precisió del model** simulant un cas d'ús real, és a dir, realitzant prediccions amb el conjunt de dades de **test**.



II-lustració 20. Flux de treball de l'entrenament d'un model

3.3.2. Configuració de l'entrenament

Per defecte tots els models predictius seran entrenats fent ús de l'**optimitzador adadelta** [28] i una **funció de pèrdua d'entropia creuada categòrica** que en conjunt s'encarregaran d'elegir els paràmetres i pesos més òptims perquè la xarxa segueixi aprenent i millorant a cada iteració.

Per tal de poder dur a terme els diferents experiments serà necessari preparar el nostre entorn d'execució tal com s'explica en l'**Annex A - Configuració d'un entorn Azure Machine Learning**.

Un cop configurat l'entorn de treball haurem de definir el nostre experiment tal com s'explica en l'**Annex B - Script de l'experiment**.

Per tal de realitzar entrenaments òptims necessitarem definir correctament aquestes 5 variables:

- **epochs** defineix quants cops pot el model iterar el conjunt de dades per aprendre i millorar, per defecte tots els entrenaments seran executats amb 100 èpoques.
- **batch_size** indica quantes imatges podem passar-li a la xarxa de manera simultània, a més imatges més ràpid seran els entrenaments. Haurem de tindre en compte el nombre de capes que té el nostre model així com la memòria de la GPU a l'hora d'assignar aquest valor.

- **steps_per_epoch** indica quants blocs de batch_size executarem en una època, per arribar a utilitzar totes les dades en el nostre entrenament, hauríem de complir la següent regla:

$$batch_size \cdot steps_per_epoch = \text{número d'imatges en el dataset}$$

Equació 2. Relació del nombre d'imatges del dataset executades en una època

- **val_batch_size** és el batch_size aplicat al dataset de validació
- **val_steps_per_epoch** és el step_per_epoch aplicat al dataset de validació

Aquests valors canviaran en funció del model i de la mida de les imatges del nostre dataset i no existeix una regla universal per calcular aquests paràmetres. En el nostre cas aquests valors els hem obtingut amb tècniques de hiperparàmetres tal com es mostra en l'apartat B.3.1 dels annexos.

És important assegurar que estem utilitzant correctament Tensorflow en mode GPU amb CUDA, tal com es mostra en l'apartat B.2.9 dels annexos, per tal de poder realitzar entrenaments més ràpids.

A les següents il·lustracions es pot apreciar com una mala implementació de CUDA a l'entrenament ocasionar èpoques més llargues i al final un entrenament més llarg.

```

138 Using TensorFlow backend.
139 2020-06-12 00:19:21.675136: W tensorflow/stream_executor/platform/default/dso_loader.cc:55] Could not load dynamic library 'libcuda.so.1'; dLError: libcuda.so.1
140 2020-06-12 00:19:21.675205: E tensorflow/stream_executor/cuda/cuda_driver.cc:313] failed call to cuInit: UNKNOWN ERROR (303)
141 2020-06-12 00:19:21.675289: I tensorflow/stream_executor/cuda/cuda_diagnostics.cc:169] retrieving CUDA diagnostic information for host: a6965b565518406cb7bb2caee2
142 2020-06-12 00:19:21.675342: I tensorflow/stream_executor/cuda/cuda_diagnostics.cc:176] hostname: a6965b565518406cb7bb2caee26941e6000000
143 2020-06-12 00:19:21.675452: I tensorflow/stream_executor/cuda/cuda_diagnostics.cc:200] libcuda reported version is: Not found: was unable to find libcuda.so DSO 1
144 2020-06-12 00:19:21.675539: I tensorflow/stream_executor/cuda/cuda_diagnostics.cc:204] kernel reported version is: 440.33.1
    
```

Il·lustració 21. Execució de Tensorflow sense CUDA

```

1/5 [====>.....] - ETA: 8:13 - loss: 0.5288 - accuracy: 0.7780
2/5 [=====>.....] - ETA: 6:09 - loss: 0.5441 - accuracy: 0.7764
3/5 [=====>.....] - ETA: 4:06 - loss: 0.5502 - accuracy: 0.7692
4/5 [=====>.....] - ETA: 2:03 - loss: 0.5509 - accuracy: 0.7712
5/5 [=====] - 635s 127s/step - loss: 0.5437 - accuracy: 0.7740 - val_loss: 0.6428 - val_accuracy: 0.7453
saved outputs/checkpoint/vgg_unet_1.28
Epoch 30/100
    
```

Il·lustració 22. Exemple del temps d'execució d'una època per un entrenament sense CUDA

Duración	17 h 48 m 51.54 s
Destino de proceso	k80-1p
Id. de ejecución	VGG-16-256x256_1591920654_e1669152

Il·lustració 23. Temps d'execució final d'un entrenament sense CUDA

Per contra, a les següents il·lustracions es pot apreciar com el mateix entrenament implementant correctament amb CUDA ha trigat 12 vegades menys en executar-se.

```

131 Using TensorFlow backend.
132 /azureml-envs/azureml_0c953dcab8998ea39fb0ebcd6d817f0b/lib/python3.6/site-packages/tensorflow/python/framework/dtypes.py:526:
133 | _np_qint8 = np.dtype(["qint8", np.int8, 1])
134 /azureml-envs/azureml_0c953dcab8998ea39fb0ebcd6d817f0b/lib/python3.6/site-packages/tensorflow/python/framework/dtypes.py:527:
...
176 2020-06-22 17:14:53.460924: I tensorflow/core/platform/cpu_feature_guard.cc:141] Your CPU supports instructions that this TensorFlow binary was not compiled to use: AVX2 FMA
177 2020-06-22 17:14:53.596288: I tensorflow/compiler/xla/service/service.cc:150] XLA service 0x55f8d65aa980 executing computations on platform CUDA. Devices:
178 2020-06-22 17:14:53.596381: I tensorflow/compiler/xla/service/service.cc:158] StreamExecutor device (0): Tesla K80, Compute Capability 3.7

```

II-Il·lustració 24. Execució de Tensorflow amb CUDA

```

1107 1/14 [=>.....] - ETA: 48s - loss: 0.6154 - accuracy: 0.7408
1108 2/14 [==>.....] - ETA: 44s - loss: 0.6421 - accuracy: 0.7272
1109 3/14 [====>.....] - ETA: 41s - loss: 0.6433 - accuracy: 0.7258
1110 4/14 [=====>.....] - ETA: 37s - loss: 0.6470 - accuracy: 0.7227
1111 5/14 [=====>.....] - ETA: 33s - loss: 0.6514 - accuracy: 0.7193
1112 6/14 [=====>.....] - ETA: 29s - loss: 0.6519 - accuracy: 0.7193
1113 7/14 [=====>.....] - ETA: 26s - loss: 0.6556 - accuracy: 0.7174
1114 8/14 [=====>.....] - ETA: 22s - loss: 0.6562 - accuracy: 0.7177
1115 9/14 [=====>.....] - ETA: 18s - loss: 0.6565 - accuracy: 0.7178
1116 10/14 [=====>.....] - ETA: 14s - loss: 0.6563 - accuracy: 0.7179
1117 11/14 [=====>.....] - ETA: 11s - loss: 0.6540 - accuracy: 0.7190
1118 12/14 [=====>.....] - ETA: 7s - loss: 0.6553 - accuracy: 0.7188
1119 13/14 [=====>.....] - ETA: 3s - loss: 0.6509 - accuracy: 0.7209
1120 14/14 [=====>.....] - 55s 4s/step - loss: 0.6497 - accuracy: 0.7216 - val_loss: 0.5912 - val_accuracy: 0.7695
1121 saved outputs/checkpoint/VGG-16_1.28
1122 Epoch 30/100

```

II-Il·lustració 25. Exemple del temps d'execució d'una època per un entrenament amb CUDA

```

Duración
1 h 39 m 52.16 s

Destino de proceso
k80-lp

Id. de ejecución
TFG-224x224_1592845496_a9910f21

```

II-Il·lustració 26. Temps d'execució final d'un entrenament amb CUDA

Finalment, tal com s'explica a l'apartat B.3.2 dels annexos, per executar els diferents experiments es recomanable utilitzar **tècniques de parada preventiva** per aturar aquells entrenaments que donen un resultat molt dolent d'inici i que és preveu que no finalitzaran amb èxit.

3.3.3. Paràmetres de mesura

3.3.3.1. Paràmetres de mesura en l'entrenament

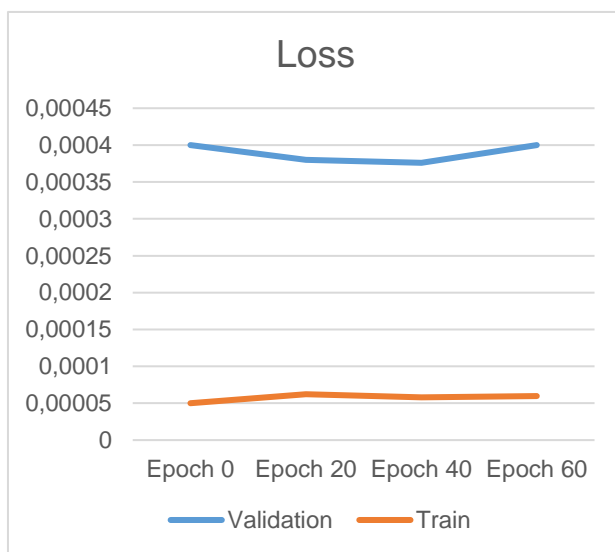
Per tal de poder validar l'èxit del nostre entrenament tindrem en compte les **mètriques de precisió de les prediccions** i les **mètriques de pèrdua**.

Com ja hem comentat anteriorment durant l'entrenament s'utilitzen els datasets train i validation sobre els que es realitzen prediccions a cada època, si els resultats de precisió

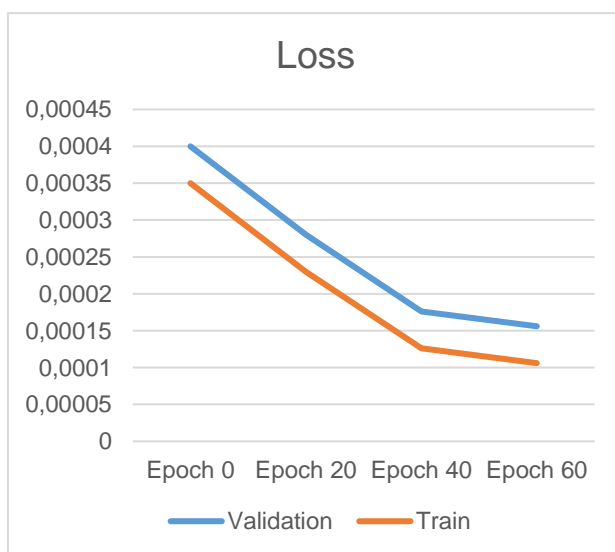
obtinguts entre ambos conjunts són semblants (com a màxim un **15%** de diferència entre si), podem intuir que el resultat de l'entrenament ha sigut vàlid; això no significarà que la predicció sigui satisfactòria.

Per contra, si el resultat obtingut amb validation està molt per sota que el de train, indicarà que el model no generalitza correctament i haurem de revisar els paràmetres definits i repetir l'entrenament.

La mètrica de pèrdua també ens ajudarà a conèixer si el nostre model està correctament entrenat. Direm que un model no és capaç d'aprendre correctament (**underfit**) les característiques del dataset quan les línies d'entrenament i validació siguin línies rectes. Per contra, si la tendència és la correcta i descendeix, haurem de revisar si existeix la possibilitat que amb més entrenaments segueixi descendent fins a arribar a un punt de saturació.

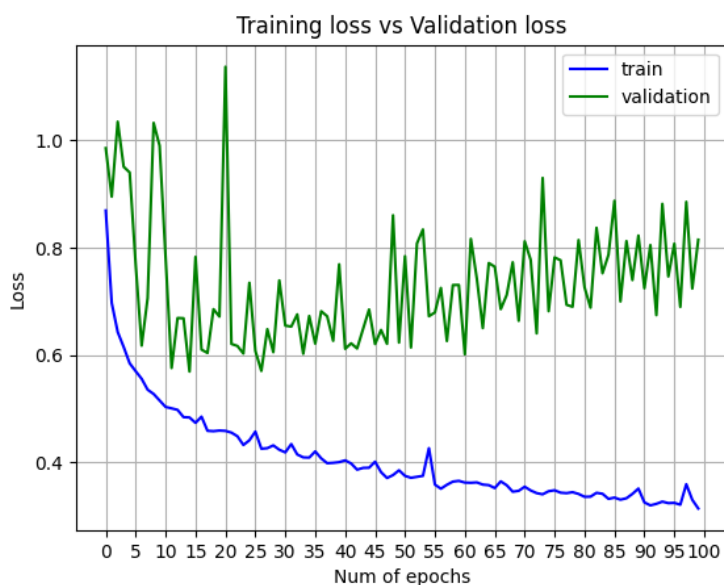


Il·lustració 27. Exemple de model underfit



Il·lustració 28. Exemple de model underfit que necessita més èpoques d'entrenament

Existeix el cas contrari on un model ha après massa bé el conjunt de dades (**overfit**) d'entrenament, incloent-hi soroll i informació irrellevant, ocasionant una mala generalització del model i fent que no sigui òptim per a qualsevol mena d'imatge. Aquest efecte pot ser causat per la realització d'entrenaments massa llargs o bé per l'ús de models massa sofisticats per prediccions senzilles. Visualment aquest tipus de problema s'anuncia quan la línia de train tendeix a 0 i la de validation s'allunya i té molta distorsió.



Il·lustració 29. Exemple de model sobre ajustat al conjunt de dades extret d'un entrenament fallit

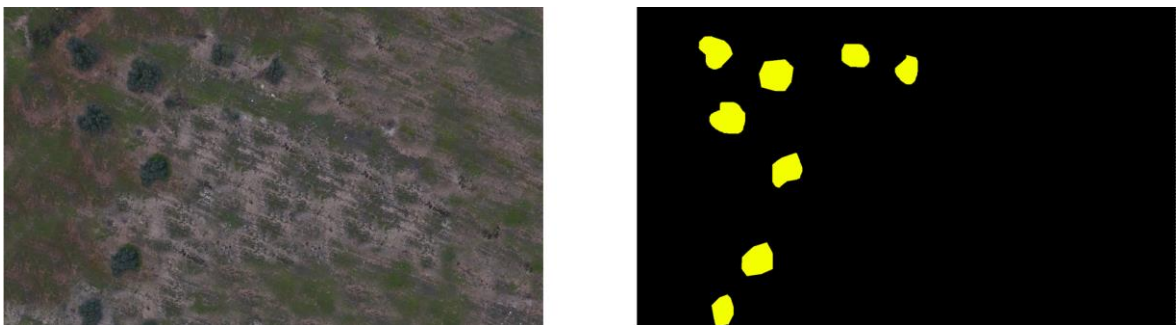
En cas que l'entrenament sigui satisfactori, les línies tindran una tendència descendent, pròxima a 0 i amb resultats semblants.

3.3.3.2. Paràmetres de mesura en el testeig

És molt important elegir unes bones mètriques per poder quantificar l'èxit dels diferents experiments.

En moltes ocasions la mètrica més utilitzada és el **píxel accuracy**, aquest indicarà el percentatge de píxels que s'han predit correctament en comparar les diferents prediccions amb els seus respectius ground truth. Amb aquesta mètrica s'ha d'anar amb compte, ja que en imatges on hi ha molt fons i els objectes a predir són molt petits es podria donar un índex de predicció molt alt quan realment la predicció de l'objecte ha sigut baixa.

Tal com podem veure a la Il·lustració 30, si per aquesta imatge la seva predicció fos la mostrada en la Il·lustració 31, indicaria un 95% d'èxit perquè la majoria dels píxels (fons d'imatge) han sigut predits correctament, però les mostres d'arbres no.

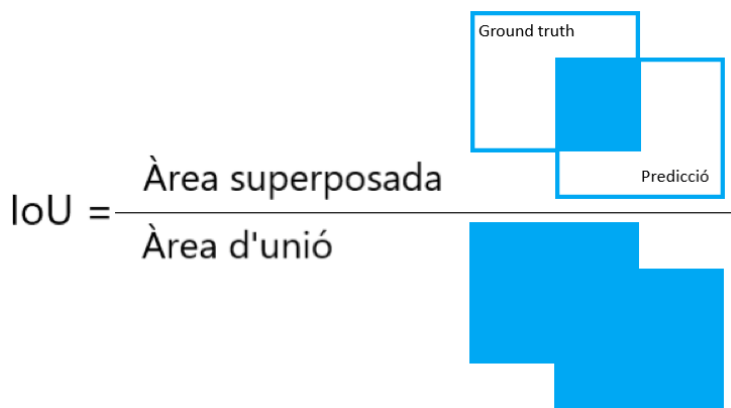


Il·lustració 30. A l'esquerra una imatge d'un terreny i a la dreta el seu ground truth



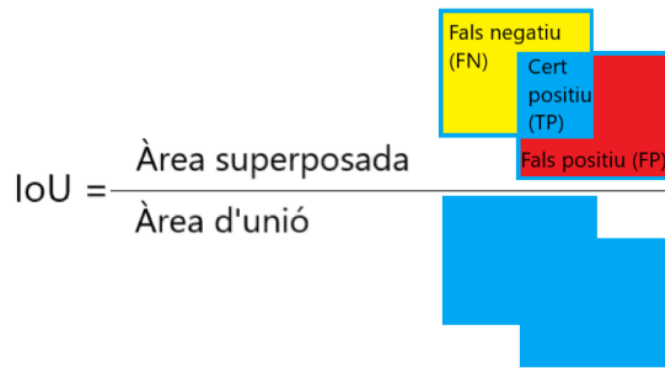
Il·lustració 31. Predicció de la Il·lustració 30 amb 95% d'èxit.

Tenint en compte el tipus d'imatge que volem predir i els problemes esmentats anteriorment, en el nostre cas les mètriques preses es basaran en l'**Input over Union (IoU)** o índex Jaccard. Aquest s'utilitza per mesurar la similitud que hi ha entre diferents conjunts de mostres i ve definit per l'àrea de superposició entre la predicció i el ground truth dividida per l'àrea d'unió entre la predicció i el ground truth.



Il·lustració 32. Exemple d'intersecció sobre la unió

On a la segmentació semàntica d'objectes, tal com podem veure a la Il·lustració 33, l'àrea de superposició fa referència als píxels etiquetats correctament (TP) i l'àrea d'unió fa referència als píxels segmentats erròniament en la predicció (àrea vermella), píxels no segmentats en la predicció (àrea groga) i els píxels segmentats correctament (àrea blava).



Il·lustració 33. Exemple d'intersecció sobre la unió per a segmentació semàntica

I ve definit per la següent equació:

$$IoU = \frac{TP}{TP + FP + FN}$$

Equació 3. Càlcul de IoU per la segmentació semàntica d'imatges

D'aquesta manera mesurarem l'èxit de predicció pels diferents objectes: el terra (**Ground IoU**), l'herba (**Grass IoU**) i els arbres (**Tree IoU**).

El **mean IoU** és la mitjana aritmètica del IoU de tots els objectes classificats i ens indicarà com de bona ha sigut la predicció en termes generals.

El **frequency weighted IoU** és el sumatori dels IoU de cada classe tenint en compte el seu pes dins de la imatge, aquesta mesura és la que ens donarà un resultat més acurat de la predicció real.

4. Avaluació

Arribats aquest punt és moment de dur a terme l'execució dels experiments i validació dels resultats.

Cal avançar que algunes proves amb ResNet-50 no han pogut ser realitzades satisfactòriament per la falta de recursos; la GPU utilitzada no tenia memòria suficient per entrenar aquest model. També el model MobilNet donada la seva definició únicament es pot entrenar amb imatges de mida 224x224.

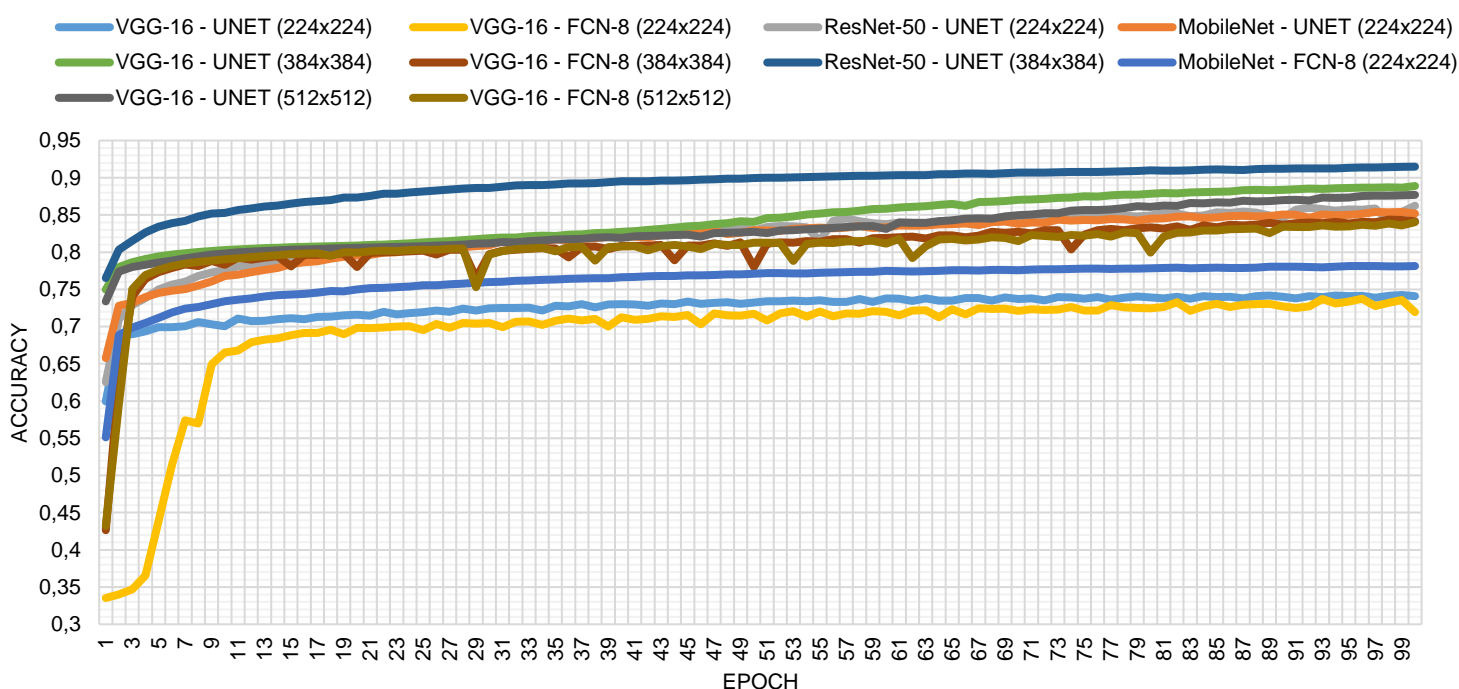
4.1. Avaluació de l'entrenament

Seguint els passos indicats l'Annex B - Script de l'experiment, carregarem i entrenarem els diferents models i arquitectures amb els conjunts de dades corresponents.

A partir de les dades obtingues en els entrenaments, adjuntes a l'**Annex C - Resultat dels entrenaments**, hem generat la següent Gràfica 1 on es pot apreciar que el model que presenta **millor precisió d'entrenament** ha estat el **Resnet-50 amb arquitectura UNET** per imatges de 384x384, aquest és un resultat previsible donat que es tracta del model que compta amb més capes per la qual cosa hauria d'aprendre millor que la resta i així mateix l'arquitectura implementada és l'evolució de la FCN-8.

Això únicament ens indica que aquest model ha sigut el que millor ha après a interpretar les imatges durant el procés d'entrenament, però en cap moment indica que és la millor opció, per això serà necessari comparar aquest resultat amb els resultats de validació (Gràfica 2) per veure si generalitza correctament.

Train accuray

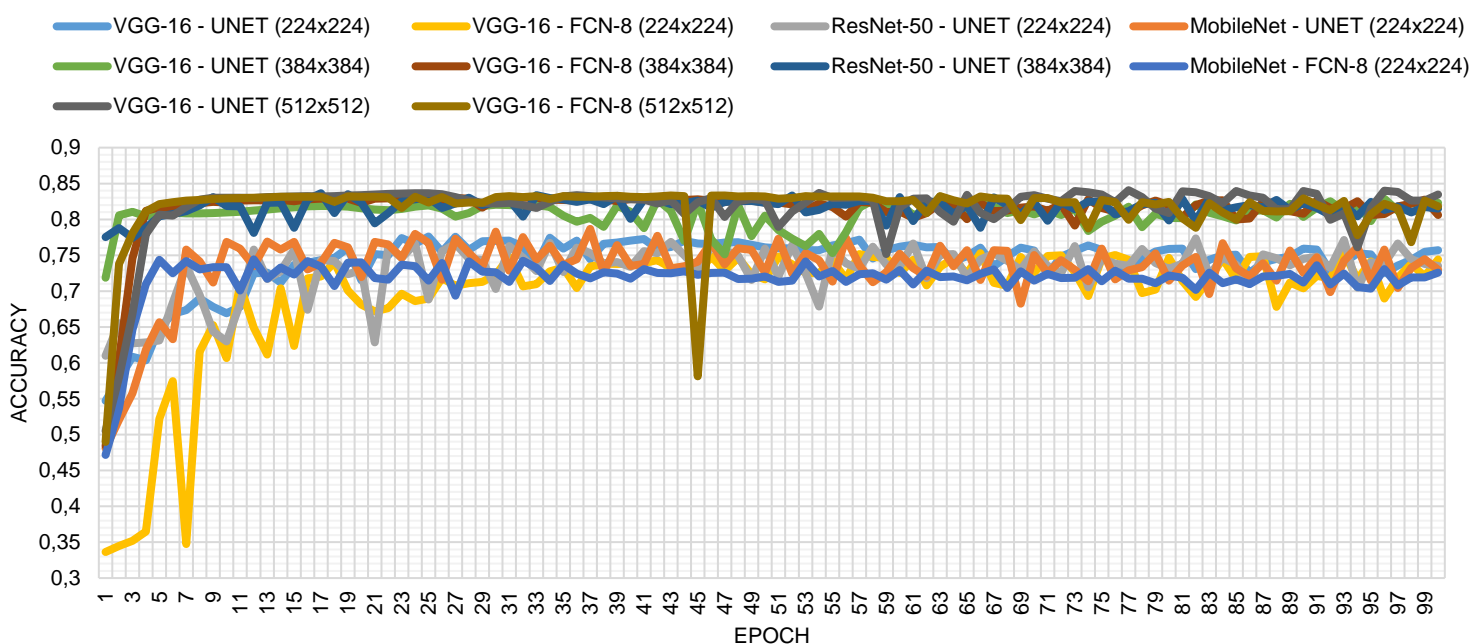


Gràfica 1. Agrupació dels resultats de la precisió d'entrenament pel conjunt de dades train

En general tots els entrenaments tenen una correcta evolució, però els entrenaments que utilitzen imatges petites (224x224) són els que representen pitjors resultats, tenint 3 dels 5 respectius entrenaments en últimes posicions.

A continuació a la Gràfica 2 s'adjunta els resultats de precisió obtinguts a l'entrenament pel conjunt de dades de validació. Si els resultats amb els mencionats anteriorment apreciem que alguns models presenten problemes d'overfitting i de saturació en l'entrenament; entrarem en detall més endavant.

Validation accuray



Gràfica 2. Agrupació dels resultats de la precisió d'entrenament pel conjunt de dades validation

A la Taula 2 es mostra un resum dels diferents entrenaments executats destacant el temps d'execució requerit per l'entrenament així com els valors màxims obtinguts en la predicció pel conjunt de dades d'entrenament i de validació.

Model	Architecture	Input size	Max. Train Pixel Accuracy	Max. Val. Pixel Accuracy	Execution time
VGG-16	FCN-8	224x224	0,7375	0,7529	3 h 8 m 8.770 s
		384x384	0,7375	0,8302	8 h 19 m 26.73 s
		512x512	0,8404	0,8331	12 h 7 m 11.79 s
	UNET	224x224	0,7425	0,7761	1 h 39 m 52.16 s
		384x384	0,8889	0,8319	5 h 27 m 24.68 s
		512x512	0,877	0,8407	7 h 53 m 29.54 s
ResNet-50	FCN-8	224x224	Error	Error	Error
		384x384	Error	Error	Error

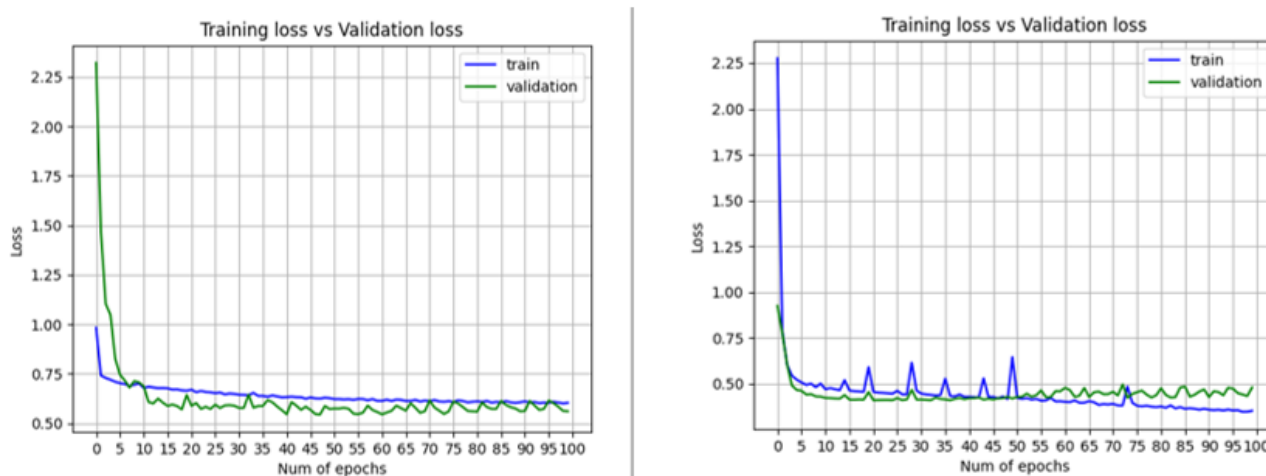
	UNET	512x512	Error	Error	Error
		224x224	0,8624	0,7735	1 h 29 m 8.131 s
		384x384	0,9149	0,8364	4 h 10 m 28.29 s
		512x512	Error	Error	Error
MobileNet	FCN-8	224x224	0,7813	0,7442	4 h 43 m 28.53 s
		384x384	-	-	-
		512x512	-	-	-
	UNET	224x224	0,854	0,7867	55 m 11.86 s
		384x384	-	-	-
		512x512	-	-	-

Taula 2. Valors obtinguts en els entrenaments

Tenint en compte que els entrenaments s'han realitzat per a 100 èpoques i que a cada època s'analitzaven 1400 imatges, el temps requerit per realitzar els entrenaments és positiu, ja que per exemple pels casos on la mida d'imatge és la més petita (224x224) ens surt aproximadament que **1 època de 1400 imatges no triga més de 2 min en executar-se**; alhora aquest valor és fàcilment millorable amb tècniques d'aturada preventives i utilitzant recursos que disposin de més memòria i de més d'un nucli per realitzar les execucions.

Unes altres dades molt importants a analitzar dels resultats adjuntats a l'**Annex C - Resultat dels entrenaments** son les **gràfiques de pèrdua de l'entrenament**.

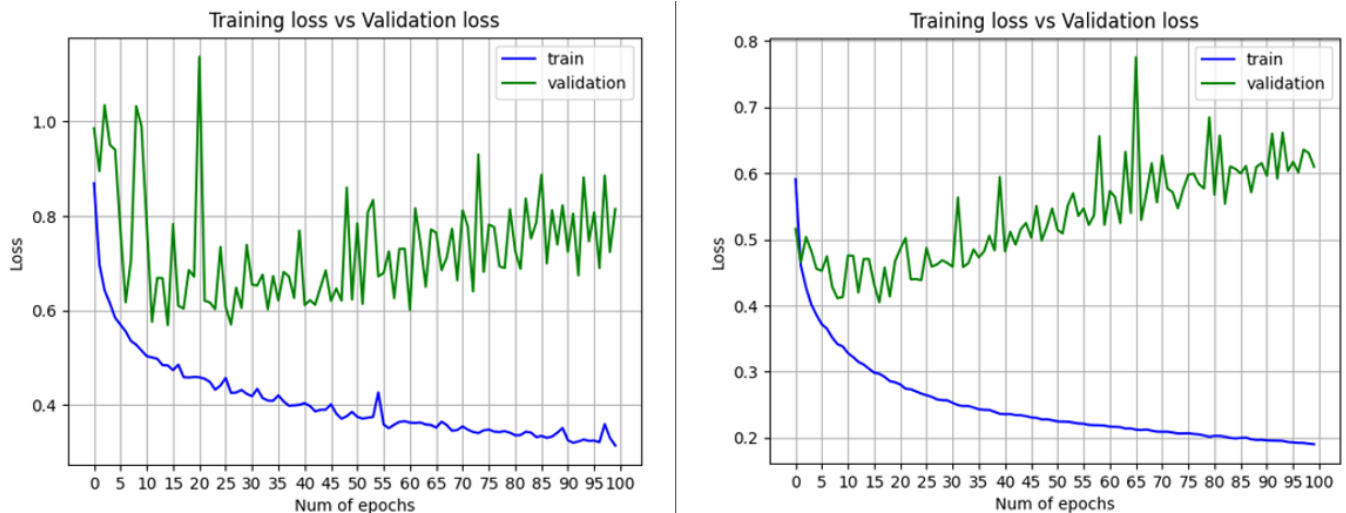
La pèrdua del model **VGG-16 amb FCN-8** per entrades de 224x224 mostra molt bons resultats indicant una **bona generalització**, però s'aprecia a partir de l'època 65 una saturació on el model deixa d'aprendre indicant així que l'entrenament es podria haver finalitzat abans, però tot i això el resultat no empitjora. Així mateix per les entrades 384x384 i 512x512 la generalització també és bona però s'aprecia que si l'entrenament hagués sigut més llarg, el model hauria quedat sobre entrenat oferint una mala generalització i una excessiva divergència entre les mètriques.



Gràfica 3. Resultats de pèrdues de l'entrenament VGG-16 amb FCN-8. A la esquerra 224x224 i a la dreta 384x384

La pèrdua del model **VGG-16 amb UNET** per entrades de **224x224** mostra **bons resultats** però l'entrenament podria haver sigut més curt. Per contra, per a entrades **384x384** i **512x512** els **resultats són dolents**, l'excessiva divergència i els constants pics de la gràfica de validació indiquen que el model **no generalitza correctament**.

Tot i que el model **ResNet-50** ha sigut el model que ha obtingut millor precisió d'entrenament, els resultats de pèrdua ens indica que aquest model **no generalitza correctament** i només serà capaç de realitzar bones prediccions a imatges que s'assemblin a les incloses al dataset d'entrenament.



Gràfica 4. Resultats de pèrdues de l'entrenament ResNet-50 amb UNET. A la esquerra 224x224 i a la dreta 384x384

MobileNet tant per arquitectura FCN-8 i UNET, els resultats no són favorables ja que ens indiquen que **no generalitza correctament**.

Com hem pogut veure, els resultats són molt variants però encara no estem en disposició de fer una elecció ja que per això necessitarem analitzar les dades resultants del testeig contra el dataset de test.

4.2. Avaluació del testeig

Un cop entrenat els diferents models, és moment de provar amb el dataset de test i analitzar el seu rendiment amb la predicció d'imatges que no coneix. A continuació a la Taula 3 es mostren els resultats obtinguts a les proves que tenen en compte com de precisa ha estat la predicció del model des de diferents perspectives.

Model	Architecture	Input size	Frequency weighted IoU	Mean IoU	Ground IoU	Tree IoU	Grass IoU
VGG-16	FCN-8	224X224	0,5611	0,5635	0,5989	0,4331	0,6586
		384X384	0,6822	0,7076	0,6990	0,8027	0,6212
		512X512	0,6846	0,7081	0,6934	0,7952	0,6356
	UNET	224X224	0,5859	0,5890	0,6222	0,4373	0,7075
		384X384	0,6819	0,7091	0,6967	0,8104	0,6202
		512X512	0,6761	0,7063	0,6761	0,8179	0,6248
ResNet-50	FCN-8	224X224	Error	Error	Error	Error	Error
		384X384	Error	Error	Error	Error	Error
		512X512	Error	Error	Error	Error	Error
	UNET	224X224	0,5667	0,5687	0,6173	0,4466	0,6423
		384X384	0,6724	0,6949	0,6881	0,7789	0,6177
		512X512	Error	Error	Error	Error	Error
MobileNet	FCN-8	224X224	0,5624	0,5649	0,6057	0,4264	0,6626
		384X384	-	-	-	-	-
		512X512	-	-	-	-	-
	UNET	224X224	0,5537	0,5560	0,6078	0,4172	0,6431
		384X384	-	-	-	-	-
		512X512	-	-	-	-	-

Taula 3. Resultat dels experiments

De tots els models entrenats, l'opció **VGG-16 amb UNET** per a imatges de mida **512x512** és el que realitza la millor **predicció d'arbres** oferint un èxit del **81,79%**.

Si ens fixem en termes més genèrics, l'opció que realitza una **millor predicció de tots els objectes** amb un èxit del **70,91%** és el model **VGG-16 amb arquitectura UNET** per a imatges de mida **384x384**.

Si tenim en compte el tipus d'imatge que estem tractant i la freqüència amb què apareixen aquests objectes en escena, la millor opció amb un èxit del **68,46%** fa referència al model **VGG-16 amb arquitectura FCN-8** per a imatges de mida **512x512**.

Per altra banda, és curiós que **ResNet-50** tot i haver estat els dos experiments amb pitjor resultat de pèrdua i anunciar una poca generalització del model, han donat bons resultats si els comparem amb models que no han tingut aquest tipus de problema.

Tenint en compte que el model predictiu elegit haurà d'estar en un entorn productiu, serà important analitzar i validar el seu rendiment per així conèixer les limitacions.

Model	Architecture	Input size	Model size	Execution time
VGG-16	FCN-8	224X224	1,5 GB	0,1753 s/it
		384X384	1,5 GB	0,2363 s/it
		512X512	1,5 GB	0,3357 s/it
	UNET	224X224	141 MB	0,0786 s/it
		384X384	141 MB	0,1571 s/it
		512X512	141 MB	0,2071 s/it
ResNet-50	FCN-8	224X224	Error	Error
		384X384	Error	Error
		512X512	Error	Error
	UNET	224X224	187 MB	0,0857 s/it
		384X384	187 MB	0,1357 s/it
		512X512	Error	Error
MobileNet	FCN-8	224X224	95,7 MB	0,1022 s/it
		384X384	-	-
		512X512	-	-
	UNET	224X224	72,2 MB	0,0571 s/it
		384X384	-	-
		512X512	-	-

Taula 4. Resultat de les mides dels models i el temps de predicció per mostra

Observant la Taula 4 podem veure el temps que triga a processar una mostra predicció el model predictiu, per defecte els models que processaran una imatge més petita, seran més ràpids.

Tenint en compte el nostre cas, tal com hem gestionat el dataset 35 imatges formen una captura de dron, sent així que en el millor dels casos sense tenir en compte demores per retallar i redimensionar la imatge, **predir una captura de dron** ens demoraria aproximadament **2 segons**, que en aquest cas concret coincideix amb la freqüència de captura de les imatges. Per tant, pensem que és viable aplicar el model en aplicacions de temps real. A més, com que hi ha un solapament significatiu entre imatges consecutives (un 80%), també podríem optar per no processar totes les imatges.

Finalment, un cop analitzats tots els resultats, resulta difícil decidir quin és el millor model, ja que dependrà de l'aplicació d'ús final i dels requisits del sistema els que marcaran quin és el millor model a elegir.

Tot i això, considerem que **la millor opció per un cas genèric** seria el **model ResNet-50 amb arquitectura UNET per imatges de 384x384** perquè treballem amb imatges no excessivament grans, el model té un temps d'entrenament moderat que facilitarà els entrenaments i tenint en compte les gràfiques de funció de pèrdua de l'entrenament, creiem que hi ha marge de millora. També el pes del model és moderat, 187 MB i el temps de processament d'una imatge és de 4,75 segons.

Tot i així, si observéssim que aquest model no acaba de generalitzar correctament, l'opció del **model VGG-16 amb arquitectura UNET per imatges de 384x384** és una opció molt interessant i amb els resultats casi idèntics que el ResNet-50.

Conclusions

En el present treball hem estudiat les bases de l'anàlisi d'imatges fent ús de tècniques de deep learning enfocades a segmentació semàntica d'imatges, aprenent a fer ús dels diferents models i arquitectures que conformen una xarxa neuronal convolucional.

Dels resultats podem extreure que per a entorns d'anàlisis d'imatge en temps real amb una baixa potència de software, el model **MobileNet** és el més adequat, tot i tindre l'inconvenient del seu rati d'aprenentatge.

A mesura que els requisits siguin més flexibles, podrem ampliar l'elecció a models amb millors resultats com ResNet i VGG-16.

Tenint en compte les dificultats a l'hora de gestionar les dades, una bona opció seria l'ús del model **ResNet-50 amb arquitectura UNET per mides d'imatge de 384x384** amb el que podríem processar imatges en diferit durant el vol o bé a les parades tècniques fent ús d'un dispositiu extern.

Basant-nos en l'experiència i els resultats obtinguts, en futurs projectes descartaríem l'ús de models densos amb arquitectures FCN-8 a causa dels alts recursos que exigeix; en aquests casos es recomanaria l'ús de **l'arquitectura UNET**, ja que el fet d'implementar capes d'omissió **redueix els requisits significativament**.

Respecte a la mida de les imatges dels diferents conjunts de dades, els resultats han demostrat que com més gran és la mida de la imatge, es requerirà més temps i memòria per entrenar, d'igual forma el temps d'execució en un entorn productiu serà més elevat. En el nostre cas hem considerat òptim el terme mitja (384x384), però creiem que serà necessari en cada cas avaluar quin s'adequa millor.

També hem vist la importància de l'augment de dades i com per una tasca senzilla amb només 10 imatges hem aconseguit obtenir uns resultats acceptables per poder iniciar una primera fase d'implementació.

Tot i això, molts dels nostres models indicaven indicis d'overfitting fruit de la manca de dades, ressaltant la importància de què és necessari generar un conjunt de dades divers per obtenir bons resultats davant casos més complexos.

Finalment, en cas de voler implementar l'anàlisi d'imatge en temps real en un dispositiu un UAV de baix cost, es recomana continuar l'estudi amb la recerca d'arquitectures i models més lleugers que ofereixin un temps de predicció inferior als obtinguts, com també investigar tècniques de transferència de pesos per utilitzar models pre-entrenats o inclús combinar entrenaments amb un conjunt de dades de mida variable, donat que alguns models demostren millor resultats davant aquest tipus d'entrenament [10].

Bibliografia

- [1] John McCarthy, "WHAT IS ARTIFICIAL INTELLIGENCE?," *November 12, 2007*, 2007. <http://www-formal.stanford.edu/jmc/whatisai/node1.html> (accessed Oct. 25, 2019).
- [2] E. Salamí, A. Gallardo, G. Skorobogatov, and C. Barrado, "On-the-fly olive tree counting using a UAS and cloud services," *Remote Sens.*, vol. 11, no. 3, p. 316, Feb. 2019, doi: 10.3390/rs11030316.
- [3] F.-F. Li, A. Karpathy, and J. Johnson, "Spatial Localization and Detection," *Stanford Convolutional Neural Networks Vis. Recognit.*, pp. 1–90, Feb. 2016, Accessed: Mar. 11, 2020. [Online]. Available: http://cs231n.stanford.edu/slides/2016/winter1516_lecture8.pdf.
- [4] A. Arnab *et al.*, "Conditional Random Fields Meet Deep Neural Networks for Semantic Segmentation: Combining Probabilistic Graphical Models with Deep Learning for Structured Prediction," *IEEE Signal Process. Mag.*, vol. 35, no. 1, pp. 37–52, 2018, doi: 10.1109/MSP.2017.2762355.
- [5] "Redes Neuronales Convolucionales - MATLAB & Simulink," <https://la.mathworks.com/>, 2019. <https://es.mathworks.com/solutions/deep-learning/convolutional-neural-network.html> (accessed Jun. 19, 2020).
- [6] F. Rosner, "Handwritten Digit Recognition Using Convolutional Neural Networks," *May 28, 2018*, May 28, 2018. <https://dev.to/frosnerd/handwritten-digit-recognition-using-convolutional-neural-networks-11g0> (accessed Mar. 10, 2020).
- [7] K. He, X. Zhang, S. Ren, and J. Sun, "Deep residual learning for image recognition," *Proc. IEEE Comput. Soc. Conf. Comput. Vis. Pattern Recognit.*, vol. 2016-Decem, pp. 770–778, 2016, doi: 10.1109/CVPR.2016.90.
- [8] A. Berg, J. Deng, and L. Fei-Fei, "ImageNet Large Scale Visual Recognition Competition (ILSVRC)," 2010. <http://www.image-net.org/challenges/LSVRC/> (accessed Jun. 18, 2020).
- [9] Jesus Utrera Bursal, "Deep Learning básico con Keras (Parte 4): ResNet," 2018. <https://enmilocalfunciona.io/deep-learning-basico-con-keras-parte-4-resnet/> (accessed Jul. 02, 2020).
- [10] K. Simonyan and A. Zisserman, "Very deep convolutional networks for large-scale image recognition," 2015, Accessed: Jun. 18, 2020. [Online]. Available: <http://www.robots.ox.ac.uk/>.
- [11] A. G. Howard *et al.*, "MobileNets: Efficient Convolutional Neural Networks for Mobile Vision Applications."
- [12] J. Long, E. Shelhamer, and T. Darrell, "Fully Convolutional Networks for Semantic Segmentation."
- [13] O. Ronneberger, P. Fischer, and T. Brox, "U-net: Convolutional networks for biomedical

- image segmentation,” in *Lecture Notes in Computer Science (including subseries Lecture Notes in Artificial Intelligence and Lecture Notes in Bioinformatics)*, 2015, vol. 9351, pp. 234–241, doi: 10.1007/978-3-319-24574-4_28.
- [14] V. Badrinarayanan, A. Kendall, and R. Cipolla, “SegNet: A Deep Convolutional Encoder-Decoder Architecture for Image Segmentation,” *IEEE Trans. Pattern Anal. Mach. Intell.*, vol. 39, no. 12, pp. 2481–2495, 2017, doi: 10.1109/TPAMI.2016.2644615.
- [15] F. Chollet, “Keras: the Python deep learning API,” 2017. <https://keras.io/> (accessed Jun. 07, 2020).
- [16] T. Xu *et al.*, *TensorFlow: A System for Large-Scale Machine Learning*. 2016.
- [17] D. Gupta, “GitHub - segmentation-keras.” Divam Gupta, Accessed: Apr. 01, 2020. [Online]. Available: <https://github.com/divamgupta/image-segmentation-keras/>.
- [18] B. Russell, A. Torralba, and W. T. Freeman, “Labelme: The open annotation tool,” *Computer Science and Artificial Intelligence Laboratory [Online]*. Available: <http://labelme.csail.mit.edu>, 2006. <http://labelme.csail.mit.edu/Release3.0/> (accessed Feb. 20, 2020).
- [19] Amazon, “Amazon SageMaker Ground Truth | AWS.” <https://aws.amazon.com/es/sagemaker/groundtruth/> (accessed Mar. 12, 2020).
- [20] “GIMP - GNU Image Manipulation Program.” <https://www.gimp.org/> (accessed Mar. 10, 2020).
- [21] “Carzyx/Azure-Machine-Learning.” <https://github.com/Carzyx/Azure-Machine-Learning> (accessed Jul. 06, 2020).
- [22] F. Chollet, “Building powerful image classification models using very little data,” *The Keras Blog*, 2016. <https://blog.keras.io/building-powerful-image-classification-models-using-very-little-data.html> (accessed Mar. 10, 2020).
- [23] S. C. Wong, A. Gatt, V. Stamatescu, and M. D. McDonnell, “Understanding Data Augmentation for Classification: When to Warp?,” 2016, doi: 10.1109/DICTA.2016.7797091.
- [24] Y. Wu *et al.*, “A Comparative Measurement Study of Deep Learning as a Service Framework,” *IEEE Trans. Serv. Comput.*, p. 15, doi: 10.1109/TSC.2019.2928551.
- [25] Google, “Welcome To Colaboratory - Google Colaboratory.” <https://colab.research.google.com> (accessed Mar. 23, 2020).
- [26] Google, “Cloud Tensor Processing Unit (TPU),” *Google cloud*. <https://cloud.google.com/tpu/docs/tpus> (accessed Jun. 06, 2020).
- [27] “Symfony - Wikipedia, la enciclopedia libre.” <https://es.wikipedia.org/wiki/CUDA> (accessed Jun. 27, 2020).
- [28] M. D. Zeiler, “ADADELTA: An Adaptive Learning Rate Method,” 2012, Accessed: Jun. 27, 2020. [Online]. Available: <http://arxiv.org/abs/1212.5701>.

- [29] Microsoft, “Creación de áreas de trabajo de Azure Machine Learning en el portal - Azure Machine Learning | Microsoft Docs.” <https://docs.microsoft.com/es-es/azure/machine-learning/how-to-manage-workspace> (accessed Apr. 15, 2020).
- [30] “Azure Products by Region | Microsoft Azure.” <https://azure.microsoft.com/en-us/global-infrastructure/services/?products=machine-learning-service,virtual-machines®ions=non-regional,us-east,us-east-2,us-central,us-north-central,us-south-central,us-west-central,us-west,us-west-2> (accessed Jun. 12, 2020).
- [31] “Books with Jupyter.” <https://jupyterbook.org/intro.html> (accessed Jun. 08, 2020).

Annex A - Configuració d'un entorn Azure Machine Learning

A1. Creació d'un entorn de treball

Seguint les passes indicades en la documentació oficial de Microsoft [29] crearem una àrea de treball de Azure ML.

Inicio > Aprendizaje automático >

Aprendizaje automático

Creación de un área de trabajo de Machine Learning

Aspectos básicos Etiquetas Revisión y creación

Detalles del proyecto

Seleccione la suscripción para administrar recursos implementados y los costes. Use los grupos de recursos como carpetas para organizar y administrar todos los recursos.

Suscripción * ⓘ

Grupo de recursos * ⓘ [Crear nuevo](#)

Detalles del área de trabajo

Especifique el nombre, la región y la edición del área de trabajo.

Nombre del área de trabajo * ⓘ ✓

Región * ⓘ

Edición del área de trabajo * ⓘ

i Para su comodidad, estos recursos se agregan automáticamente al área de trabajo, si está disponible en la región: [Azure Storage](#), [Azure Application Insights](#), [Azure Key Vault](#)

Il·lustració 34. Creació d'un entorn de Azure Machine Learning

I a través del següent enllaç <https://ml.azure.com> podrem accedir a la nova versió (actualment en fase preliminar) dels recursos de Azure ML.

És recomanable revisar abans quina regió volem fer servir [30] donat que els recursos disponibles poden canviar en funció d'aquesta.

A2. Creació d'un conjunt de dades

Un cop creada l'àrea de treball, accedirem a ell i crearem els diferents conjunts de dades que necessitem per executar entrenar i validar els models.

Vista previa Microsoft Azure Machine Learning

tfg-workspace > Conjuntos de datos

Conjuntos de datos

Conjuntos de datos registrados 🔒 Monitores de conjuntos de datos (versión preliminar)

+ Creación de un conjunto de datos ↕ Actualizar ☆ Cancelar registro

Nombre ↓	Versión	Fecha de creación	Fecha de modificación	Propiedades	Creado por
512_val_img	1	11 de jun. de 2020 20:11	11 de jun. de 2020 20:11	Archivo	miguel angel archilla alvarez
512_val_ann	1	11 de jun. de 2020 20:11	11 de jun. de 2020 20:11	Archivo	miguel angel archilla alvarez
512_train_ann	1	11 de jun. de 2020 20:15	11 de jun. de 2020 20:15	Archivo	miguel angel archilla alvarez
512_test_ann	1	11 de jun. de 2020 20:16	11 de jun. de 2020 20:16	Archivo	miguel angel archilla alvarez
384_val_img	1	11 de jun. de 2020 20:04	11 de jun. de 2020 20:04	Archivo	miguel angel archilla alvarez
384_val_ann	1	11 de jun. de 2020 20:06	11 de jun. de 2020 20:06	Archivo	miguel angel archilla alvarez
384_train_img	1	11 de jun. de 2020 20:15	11 de jun. de 2020 20:15	Archivo	miguel angel archilla alvarez
384_train_ann	1	11 de jun. de 2020 20:15	11 de jun. de 2020 20:15	Archivo	miguel angel archilla alvarez
384_test_img	1	11 de jun. de 2020 20:04	11 de jun. de 2020 20:04	Archivo	miguel angel archilla alvarez

Il·lustració 35. Pestanya de conjunt de dades

Seleccionant l'opció "Creación d'un conjunto de datos" podrem crear un nou conjunt de dades. Seguidament indicarem com a tipus de dades l'opció de fitxer donat que el nostre dataset està format per imatges, seleccionarem com a recurs d'emmagatzemament l'associat a la nostra àrea de treball, workspaceblobstore de tipus **Azure Blob Storage**, carregarem les imatges manualment del nostre entorn local i indicarem el directori on volem emmagatzemar-les.

Creación de un conjunto de datos a partir de archivos locales

Los clientes no deben incluir datos personales ni otra información confidencial en los campos marcados con porque el contenido de estos campos se puede registrar y compartir en sistemas de Microsoft para facilitar las operaciones y la solución de problemas. [Más información](#)

Información básica

Nombre * 👁 Versión del conjunto de datos

Tipo de conjunto de datos *

Descripción

Almacenamiento de datos y selección de archivos

Confirmación de detalles

Il·lustració 36. Creació d'un nou conjunt de dades

Creación de un conjunto de datos a partir de archivos locales

Información básica
 Almacenamiento de datos y selección de archivos
 Confirmación de detalles

Almacenamiento de datos y selección de archivos

Seleccionar o crear un almacén de datos *

Almacén de datos seleccionado actualmente: workspaceblobstore (Azure Blob Storage) (Predeterminado)
 Almacén de datos creado previamente
 Crear nuevo almacén de datos

Seleccionar archivos para el conjunto de datos *

Tras la creación del conjunto de datos, estos archivos se cargarán en el almacenamiento de blobs predeterminado y estarán disponibles en su área de trabajo. Los tipos de archivo admitidos son los siguientes: delimitado (es decir, CSV o TSV), Parquet, JSON Lines y texto sin formato.

[Examinar](#)

Nombre de archivo	Tamaño (MiB)	Porcentaje de l...	Estado
512x512 (1261).png	0.3089	100	●
512x512 (1262).png	0.4453	100	●
512x512 (1263).png	0.4556	100	●
512x512 (1264).png	0.3954	100	●
512x512 (1265).png	0.3884	100	●

[< Anterior](#) [Siguiente >](#)

Ruta de acceso de carga

dataset/512_test_img
Los archivos se cargarán en "\${Ruta de acceso de carga}/06-11-2020_061237.UTC".

Il·lustració 37. Carrega local del conjunt de dades

A3. Creació d'instàncies per l'execució dels experiments

Per dur a terme l'execució de l'experiment necessitarem dues coses:

- Una instància de màquina per poder **preparar i sol·licitar un experiment**.
- Una instància de màquina per **dur a terme l'experiment**.

Dins la pestanya "Proceso" en l'apartat "Instancias de proceso" definirem una instància de màquina, aquesta serà una CPU de categoria Standard_D1, la més simple de totes, ja que només la necessitem per poder encolar els nostres experiments.

Donat que és una màquina virtual serà important recordar aturar-la un cop no estem fent ús d'ella per tal d'evitar gastos.

New compute instance

Los clientes no deben incluir datos personales ni otra información confidencial en los campos marcados con ⓘ porque el contenido de estos campos se puede registrar y compartir en sistemas de Microsoft para facilitar las operaciones y la solución de problemas. [Más información](#)

Nombre del proceso * ⓘ 👁

basic-cpu

Región * ⓘ

eastus2

Tipo de máquina virtual *

CPU (unidad central de procesamiento)

Tamaño de la máquina virtual * ⓘ

Standard_D1 1 Núcleo, 3.5 GB (RAM), 50 GB (Disco)

Habilitar acceso SSH ⓘ

[> Configuración avanzada](#)

Il·lustració 38. Configuració d'instància de màquina CPU

Dins la mateixa pestanya, en l'apartat "Clústers de proceso" definirem les instàncies de màquines que s'encarregaran d'executar els experiments, donada la càrrega computacional aquestes seran màquines GPUs optimitzades per a processos de ML.

Donades les **limitacions d'ús** per part de Microsoft, actualment com a recurs dedicat només podem configurar recursos **Standard_NC6** que contenen GPUs **NVIDIA TESLA K80** i com a màxim podem disposar d'un node, és a dir, no podem escalar l'arquitectura per realitzar l'entrenament més ràpid.

New compute cluster ⓘ ✕

ⓘ Los clientes no deben incluir datos personales ni otra información confidencial en los campos marcados con ⓘ porque el contenido de estos campos se puede registrar y compartir en sistemas de Microsoft para facilitar las operaciones y la solución de problemas. [Más información](#) ✕

Nombre del proceso * ⓘ 👁️

 *

Región * ⓘ

 *

Tipo de máquina virtual *

 *

Prioridad de la máquina virtual * ⓘ

Dedicado

Prioridad baja

Tamaño de la máquina virtual * ⓘ

 *

Número mínimo de nodos * ⓘ

 *

Número máximo de nodos * ⓘ

 *

Segundos de inactividad antes de la reducción vertical * ⓘ

 *

> Configuración avanzada

II·Il·lustració 39. Configuració d'un recurs GPU dedicat

Existeix la possibilitat de configurar instàncies de **baixa prioritat** on tindrem disponibles recursos **Standard_NV6** que utilitzen una **NVIDIA Tesla M60**, aquestes instàncies es caracteritzen per tindre un **SLA mínim** on no es garanteix l'ús ininterromput del servei, per la qual cosa no es recomana utilitzar-se en execucions llargues. Tot i això després d'un parell d'execucions vam veure que funcionaven igual de bé i no vam notar cap mena d'interrupció, per aquest motiu recomanem el seu ús i així d'aquesta manera **podrem tindre dos experiments executant-se en paral·lel**.

Preferiblement intentarem sempre executar els entrenaments amb la NVIDIA TESLA K80 donat que és més ràpida i té més memòria GPU que la NVIDIA TESLA M60: 12 GB versus 8 GB.

Tot i això serà convenient revisar si existeixen altres recursos disponibles tenint en compte la regió, ja que Nvidia disposa en el mercat de recursos més potents per dur a terme aquestes tasques.

New compute cluster ⓘ ✕

ⓘ Los clientes no deben incluir datos personales ni otra información confidencial en los campos marcados con ⓘ porque el contenido de estos campos se puede registrar y compartir en sistemas de Microsoft para facilitar las operaciones y la solución de problemas. [Más información](#) ✕

Nombre del proceso * ⓘ ⓘ

 *

Región * ⓘ

 *

Tipo de máquina virtual *

 *

Prioridad de la máquina virtual * ⓘ

Tamaño de la máquina virtual * ⓘ

 *

Número mínimo de nodos * ⓘ

 *

Número máximo de nodos * ⓘ

 *

Segundos de inactividad antes de la reducción vertical * ⓘ

 *

> Configuración avanzada

Il·lustració 40. Configuració d'un recurs GPU de prioritat baixa

A4. Creació dels nostres experiments

A la pestanya “Notebooks” carregarem el fitxer escrit sobre **Jupyter Notebook** [31] que contindrà tot el necessari per definir i executar un experiment.

Seguint els diferents tutorials disponibles en la documentació oficial de Microsoft [21] aprendrem a configurar i executar un experiment fent ús de les instàncies prèviament creades per tal d’entrenar un model amb el nostre dataset allotjat a Azure.

The screenshot shows the Azure Machine Learning interface for a notebook. The left sidebar displays the file explorer with a tree view of folders and files. The main area contains two code cells. The first cell, titled 'Import packages', imports matplotlib, numpy, and azureml.core, and prints the SDK version. The second cell, titled 'Connect to workspace', loads the workspace configuration from a config.json file and prints its details.

Import packages
Import Python packages you need in this session. Also display the Azure Machine Learning SDK version.

```
In [1]: %matplotlib inline
import numpy as np
import matplotlib.pyplot as plt

import azureml.core
from azureml.core import Workspace

# check core SDK version number
print("Azure ML SDK Version: ", azureml.core.VERSION)

Azure ML SDK Version: 1.5.0
```

Connect to workspace
Create a workspace object from the existing workspace. `Workspace.from_config()` reads the file `config.json` and loads the details into an object named `ws`.

```
In [2]: # load workspace configuration from the config.json file in the current folder.
ws = Workspace.from_config()
print(ws.name, ws.location, ws.resource_group, sep='\t')

azure-vm-workspace      eastus2 azure-resource-workspace
```

Il·lustració 41. Exemple de experiment carregat

Annex B - Script de l'experiment

A continuació s'adjunta el script de l'experiment [21] on s'explica com dur a terme l'entrenament i validació d'un model i arquitectura sobre un entorn Azure ML, consumint un dataset allotjat a Azure Blob Storage i utilitzant els recursos GPUs prèviament definits.

També es mostra la possibilitat d'automatitzar i refinar diversos entrenaments fent ús dels hiperparàmetres.

B1. Set configuration

B.1.1 Train configuration

Define primary values to train and test our model.

```
# --- Define values to execute a SINGLE EXPERIMENT ---
single_experiment = True
architecture_name = 'FCN-8'
#Accepted values: FCN-8, UNET
model_name= 'VGG-16'
#Accepted values: VGG-16, Resnet-50, MobileNet
#-----

n_classes = 3
image_size = 384
# Accepted values: 224, 256, 384, 512

if(image_size == 256 or image_size == 224):
    batch_size = 80
    steps_per_epoch = 14
    val_batch_size = 70
    val_steps_per_epoch = 2
    epochs = 100
    print('Loaded 224x224 configuration')
elif(image_size == 384):
    batch_size = 40
    steps_per_epoch = 28
    val_batch_size = 70
    val_steps_per_epoch = 2
    epochs = 100
    print('Loaded 384x384 configuration')
elif(image_size == 512):
    batch_size = 28
    val_batch_size = 40
    steps_per_epoch = 70
    val_steps_per_epoch = 2
    epochs = 100
    print('Loaded 512x512 configuration')
else:
    batch_size = 10
    val_batch_size = 10
    steps_per_epoch = 5
```

```
val_steps_per_epoch = 5
epochs = 25
print('Loaded default configuration to quick test')
```

B.1.2 Connection & execution params

Define connection and executions params.

```
experiment_folder_name = "TFG"
# Accepted values: 'VGG-16', 'Resnet-50', 'MobileNet'

# Data input prefix associated a the data input name defined
# Our data name is defined by "size_step_type_" for example "384_train_img" or "
384_train_ann"
storage_iput_prefix = str(image_size)

# experiment_name - example: 'VGG-16-384x384'
experiment_name = experiment_folder_name+'-' + \
    storage_iput_prefix+'x'+storage_iput_prefix

# Execution instance name
gpu_instance = "k80-lp"

# Storage credentials
subscription_id = '00000000-0000-0000-0000-00000test'
resource_group = 'azure-ml-resource'
workspace_name = 'tfg-workspace'
```

B2. Create data & environment

B.2.1 Import packages

Import Python packages you need in this session. Also display the Azure Machine Learning SDK version.

```
%matplotlib inline
import numpy as np
import matplotlib.pyplot as plt

import azureml.core
from azureml.core import Workspace

# check core SDK version number
print("Azure ML SDK Version: ", azureml.core.VERSION)
```

B.2.2 Connect to workspace

Create a workspace object from the existing workspace. `Workspace.from_config()` reads the file `config.json` and loads the details into an object named `ws`.


```
# Load workspace configuration from the config.json file in the current folder.
ws = Workspace.from_config()
print(ws.name, ws.location, ws.resource_group, sep='\t')
```

B.2.3 Create experiment

Create an experiment to track the runs in your workspace. A workspace can have multiple experiments.

```
from azureml.core import Experiment
exp = Experiment(workspace=ws, name=experiment_name)
```

B.2.4 Create or Attach existing compute resource

By using Azure Machine Learning Compute, a managed service, data scientists can train machine learning models on clusters of Azure virtual machines. Examples include VMs with GPU support. In this tutorial, you create Azure Machine Learning Compute as your training environment. You will submit Python code to run on this VM later in the tutorial. The code below creates the compute clusters for you if they don't already exist in your workspace.

Creation of compute takes approximately 5 minutes. If the AmlCompute with that name is already in your workspace the code will skip the creation process.

```
from azureml.core.compute import AmlCompute
from azureml.core.compute import ComputeTarget
import os

# set a name for your cluster
compute_name = os.environ.get("AML_COMPUTE_CLUSTER_NAME", gpu_instance)
compute_min_nodes = os.environ.get("AML_COMPUTE_CLUSTER_MIN_NODES", 0)
compute_max_nodes = os.environ.get("AML_COMPUTE_CLUSTER_MAX_NODES", 1)

# This example uses CPU VM. For using GPU VM, set SKU to STANDARD_NC6
vm_size = os.environ.get("AML_COMPUTE_CLUSTER_SKU", "STANDARD_NC6")

if compute_name in ws.compute_targets:
    compute_target = ws.compute_targets[compute_name]
    if compute_target and type(compute_target) is AmlCompute:
        print("found compute target: " + compute_name)
else:
    print("creating new compute target...")
    provisioning_config = AmlCompute.provisioning_configuration(vm_size=vm_size,
                                                                min_nodes=compute
e_min_nodes,
                                                                max_nodes=comput
e_max_nodes)

    # create the cluster
    compute_target = ComputeTarget.create(
```

```
ws, compute_name, provisioning_config)

# can poll for a minimum number of nodes and for a specific timeout.
# if no min node count is provided it will use the scale settings for the cluster
compute_target.wait_for_completion(
    show_output=True, min_node_count=None, timeout_in_minutes=20)

# For a more detailed view of current AmlCompute status, use get_status()
print(compute_target.get_status().serialize())
```

B.2.5 Download TFG dataset

```
from azureml.core import Workspace, Dataset

workspace = Workspace(subscription_id, resource_group, workspace_name)

_overwrite = True
load_data_in_local = False

if load_data_in_local:
    data_folder = os.path.join(os.getcwd(), 'dataset/384x384')
    os.makedirs(data_folder, exist_ok=True)
    img_train_path = os.path.join(data_folder, 'img_train')
    ann_train_path = os.path.join(data_folder, 'ann_train')
    img_val_path = os.path.join(data_folder, 'img_val')
    ann_val_path = os.path.join(data_folder, 'ann_val')
    img_test_path = os.path.join(data_folder, 'img_test')
    ann_test_path = os.path.join(data_folder, 'ann_test')

    img_train.download(target_path=img_train_path, overwrite=_overwrite)
    ann_train.download(target_path=ann_train_path, overwrite=_overwrite)
    img_val.download(target_path=img_val_path, overwrite=_overwrite)
    ann_val.download(target_path=ann_val_path, overwrite=_overwrite)
    img_test.download(target_path=img_test_path, overwrite=_overwrite)
    ann_test.download(target_path=ann_test_path, overwrite=_overwrite)
    print('Loaded data in local')

else:
    img_train = Dataset.get_by_name(
        workspace, name=storage_input_prefix+'_train_img')
    ann_train = Dataset.get_by_name(
        workspace, name=storage_input_prefix+'_train_ann')

    img_val = Dataset.get_by_name(
        workspace, name=storage_input_prefix+'_val_img')
    ann_val = Dataset.get_by_name(
        workspace, name=storage_input_prefix+'_val_ann')
    img_test = Dataset.get_by_name(
        workspace, name=storage_input_prefix+'_test_img')
    ann_test = Dataset.get_by_name(
        workspace, name=storage_input_prefix+'_test_ann')
```

```

img_train = img_train.register(workspace=ws,
                               name='img_train',
                               description='img_train',
                               create_new_version=True)
ann_train = ann_train.register(workspace=ws,
                               name='ann_train',
                               description='ann_train',
                               create_new_version=True)
img_val = img_val.register(workspace=ws,
                            name='img_val',
                            description='img_val',
                            create_new_version=True)
ann_val = ann_val.register(workspace=ws,
                            name='ann_val',
                            description='ann_val',
                            create_new_version=True)
img_test = img_test.register(workspace=ws,
                              name='img_test',
                              description='img_test',
                              create_new_version=True)
ann_test = ann_test.register(workspace=ws,
                              name='ann_test',
                              description='ann_test',
                              create_new_version=True)
print('Merged specified data into generic experiment dataset container')

```

```

import os
script_folder = os.path.join(os.getcwd(), experiment_folder_name)
os.makedirs(script_folder, exist_ok=True)

```

B.2.6 Create a training script

To submit the job to the cluster, first create a training script. Run the following code to create the training script called *train.py* in the directory you just created.

```

%%writefile $script_folder/train.py

import numpy as np
import os
import joblib
import utils as my_utils
from azureml.core import Run
from keras_segmentation.models.unet import *
from keras_segmentation.models.fcn import *
from keras_segmentation.data_utils.data_loader import image_segmentation_generator
or
from keras_segmentation.predict import evaluate

# get hold of the current run

```

```
run = Run.get_context()

# get experiment inputs
args = my_utils.azure_get_experiment_inputs()

architecture_name = args.architecture_name
model_name = args.model_name

n_classes = args.n_classes
img_train = args.img_train
ann_train = args.ann_train
img_val = args.img_val
ann_val = args.ann_val
img_test = args.img_test
ann_test = args.ann_test
batch_size = args.batch_size
steps_per_epoch = args.steps_per_epoch
val_batch_size = args.val_batch_size
val_steps_per_epoch = args.val_steps_per_epoch
epochs = args.epochs
image_size = args.image_size
optimizer_name = args.optimizer_name

# define path to store checkpoints
os.makedirs('outputs/checkpoint', exist_ok=True)
checkpoint_path = 'outputs/checkpoint/'+model_name+'_1'

# TRAIN
if(architecture_name == 'FCN-8'):
    if(model_name == 'VGG-16'):
        model = fcn_8_vgg(n_classes=n_classes,
                          input_height=image_size, input_width=image_size)
    elif(model_name == 'Resnet-50'):
        model = fcn_8_resnet50(n_classes=n_classes,
                                input_height=image_size, input_width=image_size)
    elif(model_name == 'MobileNet'):
        model = fcn_8_mobilenet(n_classes=n_classes,
                                input_height=image_size, input_width=image_size)
    else:
        raise Exception('Sorry, architecture name: {} no contains model name: {}
').format(
            architecture_name, model_name)

elif(architecture_name == 'UNET'):
    if(model_name == 'VGG-16'):
        model = vgg_unet(n_classes=n_classes,
                          input_height=image_size, input_width=image_size)
    elif(model_name == 'Resnet-50'):
        model = resnet50_unet(n_classes=n_classes,
                                input_height=image_size, input_width=image_size)
    elif(model_name == 'MobileNet'):
        model = mobilenet_unet(n_classes=n_classes,
                                input_height=image_size, input_width=image_size)
```

```

    else:
        raise Exception('Sorry, architecture name: {} no contains model name: {}
').format(
    architecture_name, model_name)
else:
    raise Exception('Sorry, architecture name: {} not found').format(
    architecture_name)

print('Selected train model is '+model_name + ' & architecture is '+architecture_
name)
model.summary()

model.train(
    train_images=img_train,
    train_annotations=ann_train,
    val_images=img_val,
    val_annotations=ann_val,
    checkpoints_path=checkpoint_path,
    validate=True,
    batch_size=batch_size,
    val_batch_size=val_batch_size,
    steps_per_epoch=steps_per_epoch,
    val_steps_per_epoch=val_steps_per_epoch,
    epochs=epochs,
    optimizer_name=optimizer_name
)

my_utils.save_checkpoints_in_zip()

my_utils.azure_log_train_accuracy(model, run)
my_utils.azure_log_plot_train_accuracy(model, run)

# TEST
evaluation = evaluate(model=model, inp_images_dir=img_test,
    annotations_dir=ann_test)

my_utils.azure_log_test_data(evaluation, run)

# Save model, the outputs folder is automatically uploaded into experiment recor
d by AML Compute
model.save('./outputs/model.h5')
joblib.dump(value=model, filename='outputs/execution_model.pkl')

```

B.2.7 Create a utils script

Create a utils script `utils.py` to add support functionalities about train script.

```
%%writefile $script_folder/utils.py
```

```
import glob
```

```
import joblib
import zipfile
import os
import argparse
import numpy as np
import matplotlib.pyplot as plt

def azure_get_experiment_inputs():

    parser = argparse.ArgumentParser()

    #dataset parser
    parser.add_argument('--img_train', type=str,
                        dest='img_train', help='img_train')
    parser.add_argument('--ann_train', type=str,
                        dest='ann_train', help='ann_train')
    parser.add_argument('--img_val', type=str, dest='img_val', help='img_val')
    parser.add_argument('--ann_val', type=str, dest='ann_val', help='ann_val')
    parser.add_argument('--img_test', type=str,
                        dest='img_test', help='img_test')
    parser.add_argument('--ann_test', type=str,
                        dest='ann_test', help='ann_test')

    #train parser
    parser.add_argument('--architecture_name', type=str,
                        dest='architecture_name', help='architecture_name')
    parser.add_argument('--model_name', type=str,
                        dest='model_name', help='model_name')
    parser.add_argument('--n_classes', type=int,
                        dest='n_classes', default=3, help='n_classes')
    parser.add_argument('--batch_size', type=int,
                        dest='batch_size', default=10, help='batch size')
    parser.add_argument('--steps_per_epoch', type=int,
                        dest='steps_per_epoch', default=1, help='steps per epoch
')
    parser.add_argument('--val_batch_size', type=int,
                        dest='val_batch_size', default=10, help='val batch size
')
    parser.add_argument('--val_steps_per_epoch', type=int,
                        dest='val_steps_per_epoch', default=1, help='val steps p
er epoch')
    parser.add_argument('--epochs', type=int, dest='epochs',
                        default=5, help='epochs')
    parser.add_argument('--image_size', type=int,
                        dest='image_size', default=224, help='image size')
    parser.add_argument('--optimizer_name', type=str,
                        dest='optimizer_name', default="adadelata", help='optimiz
er name')

    return parser.parse_args()

def save_checkpoints_in_zip():
```

```

path = os.path.join(os.getcwd(), 'outputs')
path = os.path.abspath(os.path.normpath(os.path.expanduser(path)))
for folder in os.listdir(path):
    zipf = zipfile.ZipFile('{0}.zip'.format(
        os.path.join(path, folder)), 'w', zipfile.ZIP_DEFLATED)
    for root, dirs, files in os.walk(os.path.join(path, folder)):
        for filename in files:
            zipf.write(os.path.abspath(os.path.join(
                root, filename)), arcname=filename)
    zipf.close()

def azure_log_train_accuracy(model, run):
    run.log_list('Train accuracy -backup',
                model.history.history['accuracy'][:25], description='TRAIN ACCU
RACY')
    run.log_list('Train accuracy -backup',
                model.history.history['accuracy'][25:50], description='TRAIN AC
CURACY')
    run.log_list('Train accuracy -backup',
                model.history.history['accuracy'][50:75], description='TRAIN AC
CURACY')
    run.log_list('Train accuracy -backup',
                model.history.history['accuracy'][75:], description='TRAIN ACCU
RACY')

    run.log_list('Validation accuracy -backup',
                model.history.history['val_accuracy'][:25], description='VALIDA
TION ACCURACY')
    run.log_list('Validation accuracy -backup',
                model.history.history['val_accuracy'][25:50], description='VALI
DATION ACCURACY')
    run.log_list('Validation accuracy -backup',
                model.history.history['val_accuracy'][50:75], description='VALI
DATION ACCURACY')
    run.log_list('Validation accuracy -backup',
                model.history.history['val_accuracy'][75:], description='VALIDA
TION ACCURACY')

    run.log_list('Train loss -backup',
                model.history.history['loss'][:25], description='TRAIN LOSS')
    run.log_list('Train loss -backup',
                model.history.history['loss'][25:50], description='TRAIN LOSS')
    run.log_list('Train loss -backup',
                model.history.history['loss'][50:75], description='TRAIN LOSS')
    run.log_list('Train loss -backup',
                model.history.history['loss'][75:], description='TRAIN LOSS')

    run.log_list('Validation loss -backup',
                model.history.history['val_loss'][:25], description='VALIDATION
LOSS')
    run.log_list('Validation loss -backup',
                model.history.history['val_loss'][25:50], description='VALIDATI
ON LOSS')

```

```
run.log_list('Validation loss -backup',
            model.history.history['val_loss'][50:75], description='VALIDATI
ON LOSS')
run.log_list('Validation loss -backup',
            model.history.history['val_loss'][75:], description='VALIDATION
LOSS')

run.log("final_val_loss", model.history.history["val_loss"][-1])

def azure_log_plot_train_accuracy(model, run):
    plt.figure(0)
    plt.plot(model.history.history['accuracy'], 'b', label="accuracy")
    plt.plot(model.history.history['val_accuracy'], 'g', label="val_accuracy")
    plt.xticks(np.arange(0, 101, 5))
    plt.yticks(np.arange(0, 1, 0.05))
    plt.xlabel("Num of epochs")
    plt.ylabel("Accuracy")
    plt.title("Training accuracy vs Validation accuracy")
    plt.legend(['train', 'validation'])
    plt.grid(True)
    run.log_image("accuracy vs val_accuracy", plot=plt)

    plt.figure(1)
    plt.plot(model.history.history['loss'], 'b')
    plt.plot(model.history.history['val_loss'], 'g')
    plt.xticks(np.arange(0, 101, 5))
    #plt.yticks(np.arange(0, 10, 0.2))
    plt.xlabel("Num of epochs")
    plt.ylabel("Loss")
    plt.title("Training loss vs Validation loss")
    plt.legend(['train', 'validation'])
    plt.grid(True)
    run.log_image("training loss vs validation loss", plot=plt)

def azure_log_test_data(evaluation, run):
    run.log('frequency_weighted_IU', evaluation['frequency_weighted_IU'])
    run.log('mean_IU', evaluation['mean_IU'])
    run.log('Ground mean_IoU ', evaluation['class_wise_IU'][0])
    run.log('Tree mean_IoU ', evaluation['class_wise_IU'][1])
    run.log('Grass mean_IoU ', evaluation['class_wise_IU'][2])
    run.log_list('class_wise_IU', evaluation['class_wise_IU'])
```

B.2.8 Define script params

Next, we define script params to pass our defined train inputs

```
script_params = {
    '--n_classes': n_classes,
    '--architecture_name': architecture_name,
    '--model_name': model_name,
```



```

'--img_train': img_train.as_named_input('img_train').as_mount(),
'--ann_train': ann_train.as_named_input('ann_train').as_mount(),
'--img_val': img_val.as_named_input('img_val').as_mount(),
'--ann_val': ann_val.as_named_input('ann_val').as_mount(),
'--img_test': img_test.as_named_input('img_test').as_mount(),
'--ann_test': ann_test.as_named_input('ann_test').as_mount(),
'--batch_size': batch_size,
'--val_batch_size': val_batch_size,
'--steps_per_epoch': steps_per_epoch,
'--val_steps_per_epoch': val_steps_per_epoch,
'--epochs': epochs,
'--image_size': image_size
}

```

B.2.9 Define Tensorflow estimator & add dependencies

Define a Tensorflow context to execute our experiment (*train.py*) over GPU using train input specifications (*script_params*) and defined dependencies.

```

from azureml.train.dnn import TensorFlow
est = TensorFlow(source_directory=script_folder,
                entry_script='train.py',
                script_params=script_params,
                compute_target=compute_target,
                pip_packages=[
                    "keras",
                    "imageio",
                    "imgaug",
                    "opencv-python",
                    "tqdm",
                    "joblib",
                    "matplotlib"],
                use_gpu=True)

```

B.2.10 Execute individual experiment

```

if(single_experiment):
    run = exp.submit(est)

```

B3. Improve experiment executions

B.3.1 Hyperparameters tuning

Define tune params to test and experiment which combinations gets best performance. In this case, it will be used to make multiple experiment sequences using a different model for each iteration.

Also, we can use a 'Grid Parameter Sampling' to find best *batch_size* combination for each model and architecture.

```
from azureml.train.hyperdrive import RandomParameterSampling, GridParameterSampling
from azureml.train.hyperdrive import choice

find_best_batch_size = False

if (find_best_batch_size):
    ps = GridParameterSampling({
        '--batch_size': choice(140, 112, 80, 70, 56, 40, 35),
        '--architecture_name': choice('FCN-8', 'UNET'),
        '--model_name': choice('VGG-16', 'Resnet-50', ''),
        # 560,280,140,112,80,70,56,40,35,28,20,16,14,10,8,7,5,4
        '--steps_per_epoch': choice(1)
    })
else:
    ps = RandomParameterSampling(
        {
            '--model_name': choice('VGG-16', 'Resnet-50'),
            '--architecture_name': choice('FCN-8', 'UNET', 'MobileNet')
            # '--optimizer_name': choice("SGD", "RMSprop", "Adam", "Adadelta", "
Adagrad", "Adamax", "Nadam")
        }
    )
```

B.3.2 Stopper policies

Define a stopper policies to perform our time execution and improve our financial expense

Median stopping is an early termination policy based on running averages of primary metrics reported by the runs. This policy computes running averages across all training runs and terminates runs whose performance is worse than the median of the running averages.

```
from azureml.train.hyperdrive import BanditPolicy, MedianStoppingPolicy

#policy = BanditPolicy(evaluation_interval=50, slack_factor=0.1)
policy = MedianStoppingPolicy(evaluation_interval=1, delay_evaluation=20)
```

B4. Release and validate result

B.4.1 Execute experiment

Finally, we will define and hyperdrive context and will execute it.

```
from azureml.train.hyperdrive import HyperDriveConfig, PrimaryMetricGoal

hdc = HyperDriveConfig(estimator=est,
                       hyperparameter_sampling=ps,
                       policy=policy,
```

```
primary_metric_name='Validation accuracy',  
primary_metric_goal=PrimaryMetricGoal.MAXIMIZE,  
max_total_runs=200,  
max_concurrent_runs=1)
```

```
hdr = exp.submit(config=hdc)
```

B.4.2 Display run results

You now have a model trained on a remote cluster. Retrieve all the metrics logged during the run, including the accuracy of the model:

```
from azureml.widgets import RunDetails  
RunDetails(hdr).show()
```

B.4.3 Check best result and best params combination

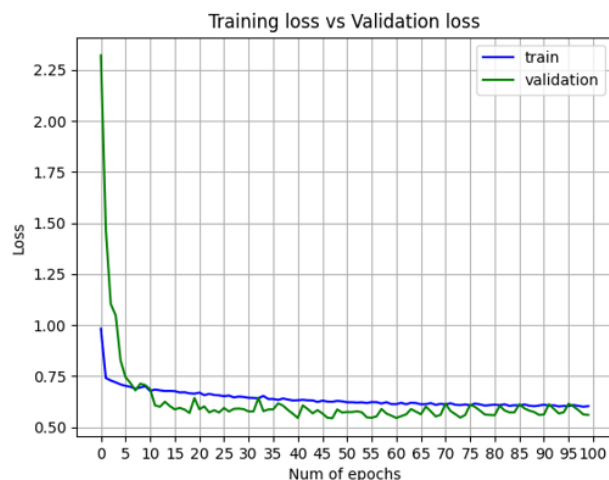
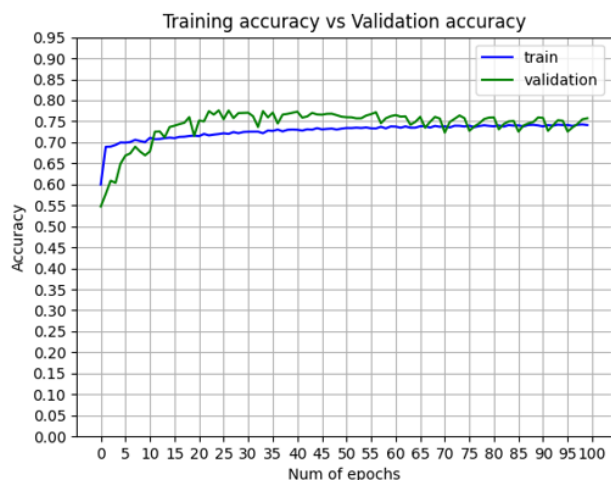
```
hdr.wait_for_completion(show_output=True)  
assert(hdr.get_status() == "Completed")  
best_run = hdr.get_best_run_by_primary_metric()  
print(best_run.get_details()['runDefinition']['arguments'])
```

Annex C - Resultat dels entrenaments

A continuació s'adjunta els resultats dels entrenaments realitzats que ens permet conèixer i avaluar com de bo és el nostre model i si aquest generalitza correctament.

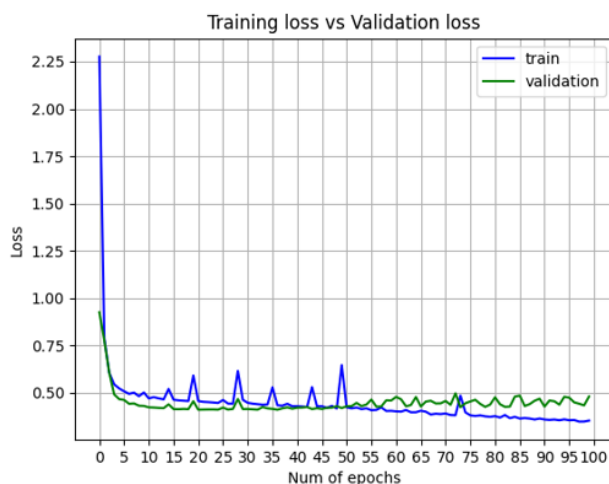
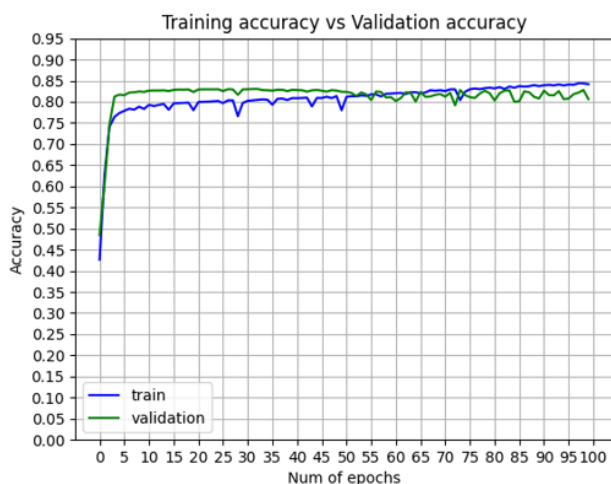
C1. VGG-16

- FCN-8
 - Imatge 224x224



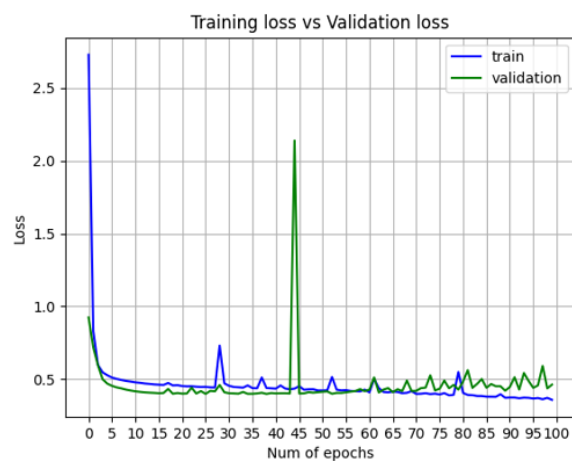
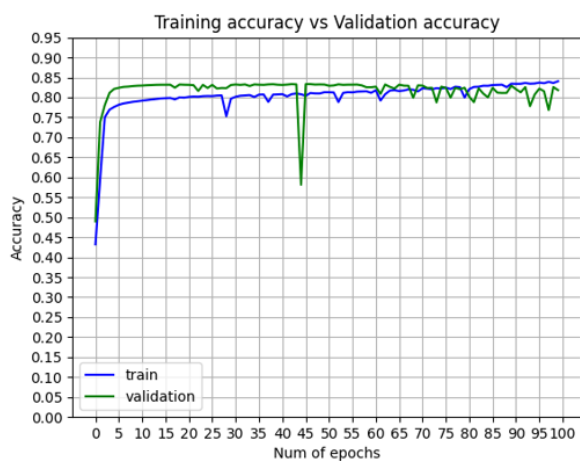
Il·lustració 42. Resultat entrenament VGG-16 FCN-8 224x224

- Imatge 384x384



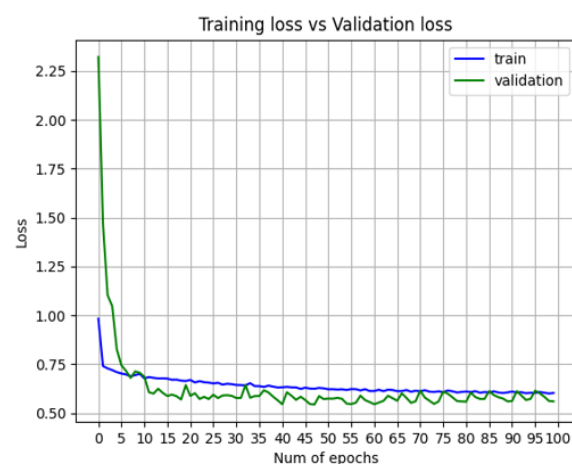
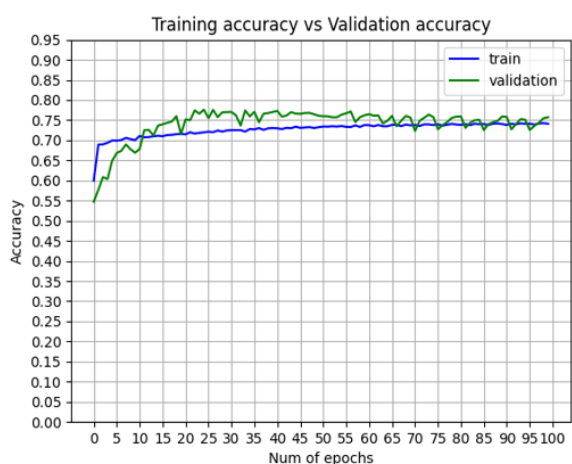
Il·lustració 43. Resultat entrenament VGG-16 FCN-8 384x384

- Imatge 512x512



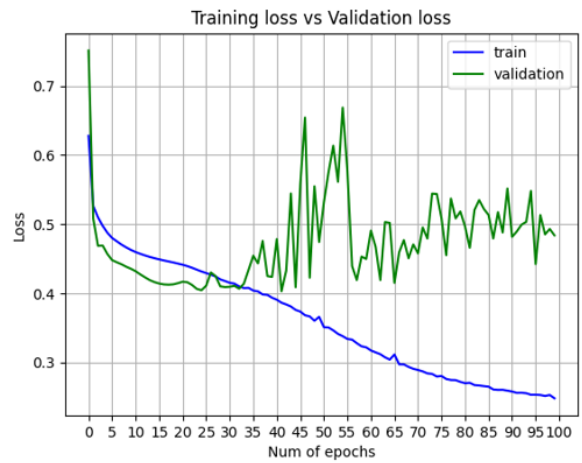
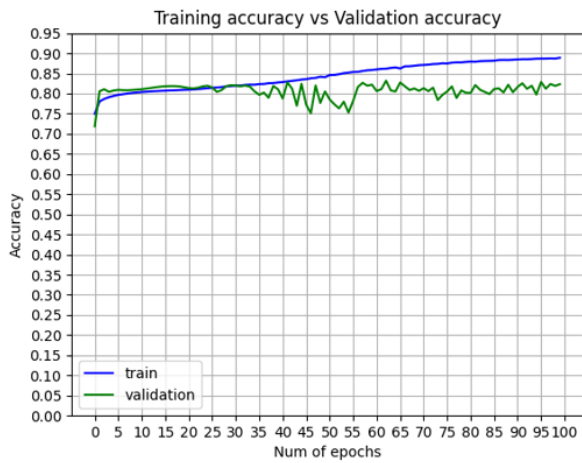
Il·lustració 44. Resultat entrenament VGG-16 UNET 512x512

- UNET
 - Imatge 224x224



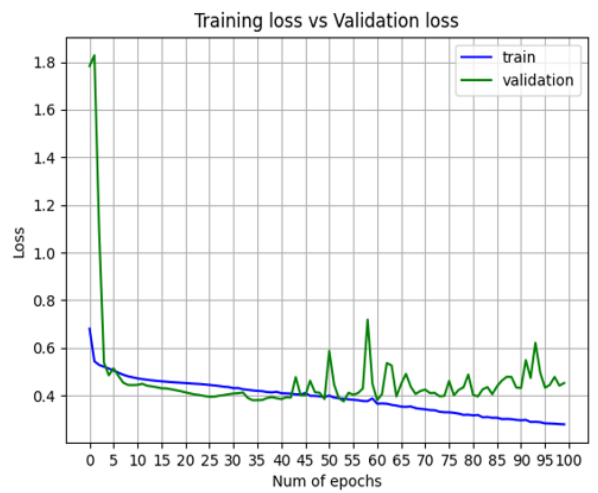
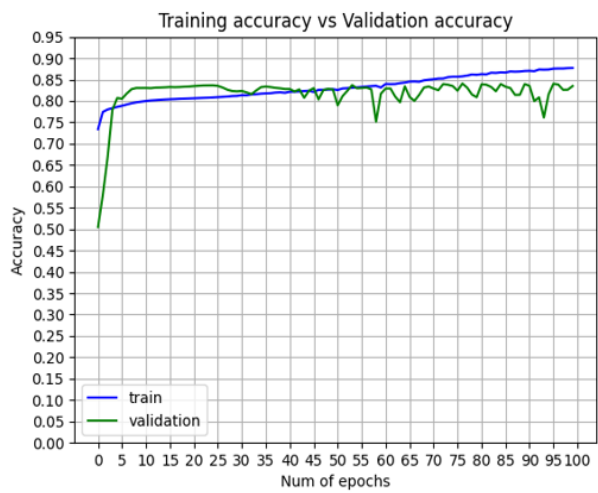
Il·lustració 45. Resultat entrenament VGG-16 UNET 224x224

▪ Imatge 384x384



Il·lustració 46 Il·lustració 42. Resultat entrenament VGG-16 UNET 384x384

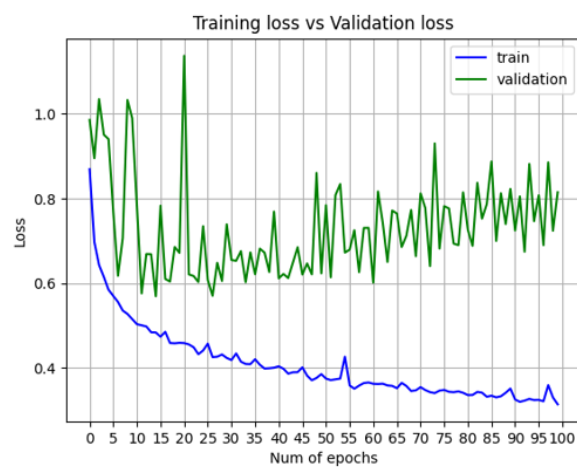
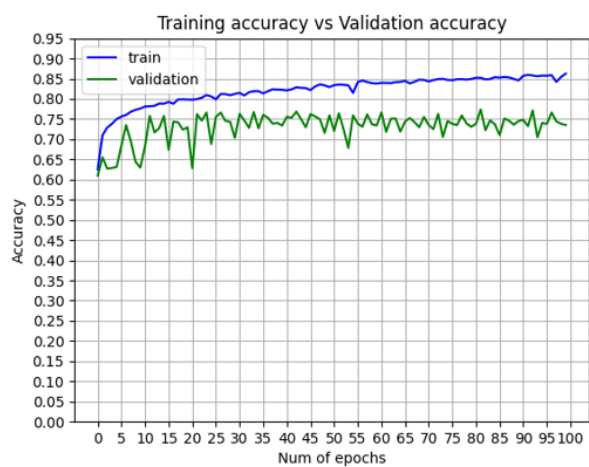
▪ Imatge 512x512



Il·lustració 47. Resultat entrenament VGG-16 UNET 512x512

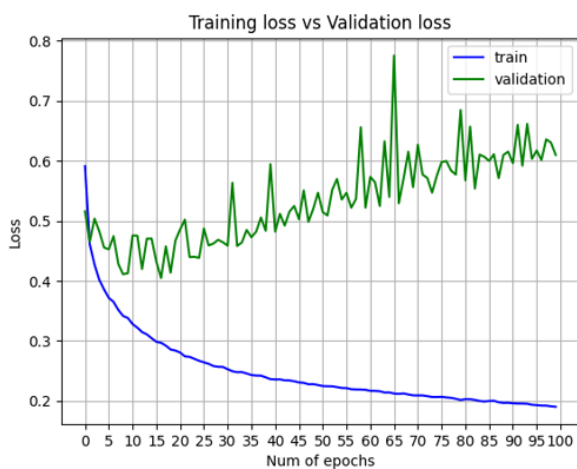
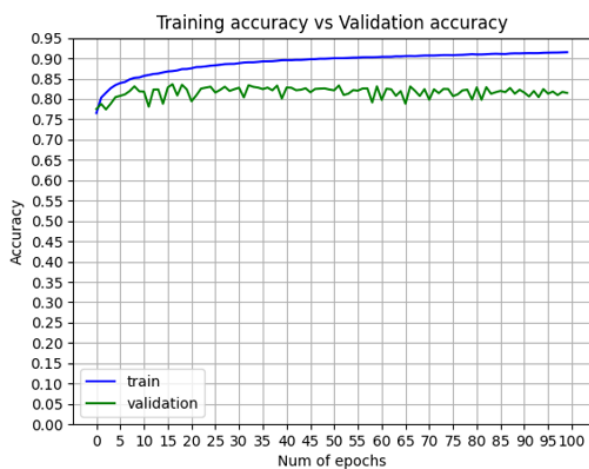
C2. Resnet-50

- UNET
 - Imatge 224x224



Il·lustració 48. Resultat entrenament Resnet UNET 224x224

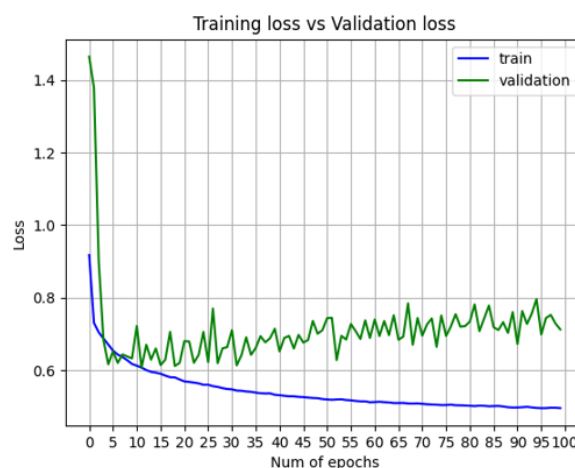
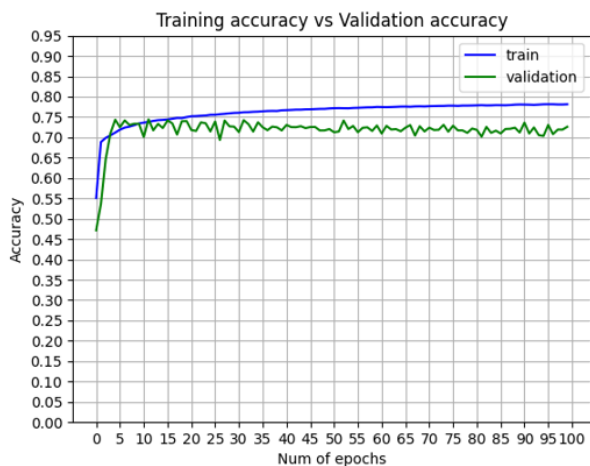
- Imatge 384x384



Il·lustració 49. Resultat entrenament Resnet UNET 384X384

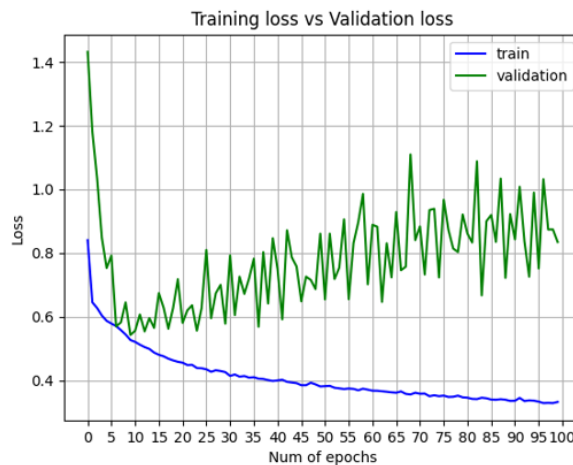
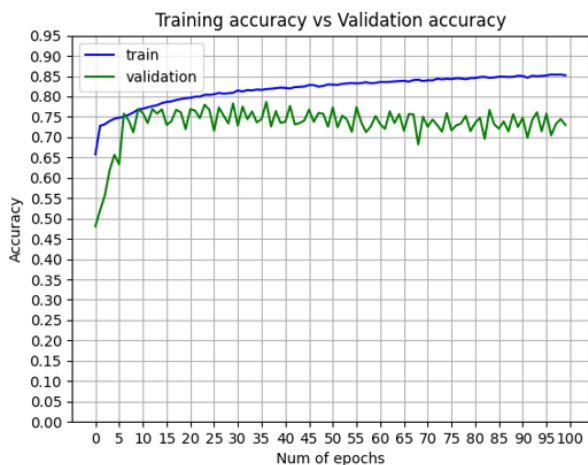
C3. MobileNet

- FCN-8
 - Imatge 224x224



Il·lustració 50. Resultat entrenament MobileNet FCN-8 224x224

- UNET
 - Imatge 224x224



Il·lustració 51. Resultat entrenament MobileNet UNET 224x224